

*Pakiet "OPERAT FB" v. 8.5.0/2021 r. - oprogramowanie do modelowania rozprzestrzeniania się zanieczyszczeń w powietrzu atmosferycznym dla źródeł istniejących i projektowanych, stosujące metodykę obliczeń zawartą w rozporządzeniu M.Ś. w sprawie wartości odniesienia niektórych substancji w powietrzu (Dz.U. 16/10).
Pakiet posiada atest Instytutu Ochrony Środowiska - pismo znak BA/147/96.
Opracowanie: mgr inż. Ryszard Samoć www.proeko-rs.pl
Użytkownik programu: ERKAPE Renata Pietraszek, licencja: 861/OW/16*

Zakład: Stacja paliw Sękocin Nowy - analiza oddziaływania emisji
gazów i pyłów do powietrza – UZUPEŁNIENIE o większa ilość pojazdów na terenie stacji

Parametry emitorów i emisja do atmosfery

Symbol	Nazwa emitora	Wysokość m	Przekrój m	Prędkość gazów m/s	Temper. gazów K	Xe m	Ye m	Nazwa zanieczyszczenia	Emisja maks. kg/h	Emisja roczna Mg/rok	Emisja średnioroczna kg/h
E1	Odpowietrzenie komory zbiornika z PB	5,5 Z	0,05	0	293	79	64	węglowodory alifatyczne	0,0225	0,001971	0,000225
								węglowodory aromatyczne	0,043	0,00377	0,00043
								benzen	0,00125	0,0001095	0,0000125
								alkohol metylowy	0,00375	0,000329	0,0000375
								alkohol izobutyłowy	0,0125	0,001095	0,000125
E2	Odpowietrzenie komory zbiornika z ON	5,5 Z	0,05	0	293	78	61	węglowodory alifatyczne	0,01932	0,001128	0,0001288
								węglowodory aromatyczne	0,00168	0,0000981	0,0000112
E3	Dystrybutory PB	0,8 B	0,05	0	293	83	68	węglowodory alifatyczne	0,0153	0,01396	0,001594
								węglowodory aromatyczne	0,029	0,02646	0,003021
								benzen	0,00085	0,000776	0,0000885
								alkohol metylowy	0,00255	0,002327	0,0002656
								alkohol izobutyłowy	0,0085	0,00776	0,000885
E4	Dystrybutory PB	0,8 B	0,05	0	293	91	66	węglowodory alifatyczne	0,0153	0,01396	0,001594
								węglowodory aromatyczne	0,029	0,02646	0,003021
								benzen	0,00085	0,000776	0,0000885
								alkohol metylowy	0,00255	0,002327	0,0002656
								alkohol izobutyłowy	0,0085	0,00776	0,000885
E5	Dystrybutory PB	0,8 B	0,05	0	293	98	64	węglowodory alifatyczne	0,0153	0,01396	0,001594
								węglowodory aromatyczne	0,029	0,02646	0,003021
								benzen	0,00085	0,000776	0,0000885
								alkohol metylowy	0,00255	0,002327	0,0002656

								alkohol izobutylowy	0,0085	0,00776	0,000885
E6	Dystrybutory ON	0,8 B	0,05	0	293	83	67	węglowodory alifatyczne	0,0184	0,01119	0,001278
								węglowodory aromatyczne	0,00016	0,0000973	0,00001111
E7	Dystrybutory ON	0,8 B	0,05	0	293	91	65	węglowodory alifatyczne	0,0184	0,01119	0,001278
								węglowodory aromatyczne	0,00016	0,0000973	0,00001111
E8	Dystrybutory ON	0,8 B	0,05	0	293	97	63	węglowodory alifatyczne	0,0184	0,01119	0,001278
								węglowodory aromatyczne	0,00016	0,0000973	0,00001111
E9	Dystrybutory ON TIR	0,8 B	0,05	0	293	83	70	węglowodory alifatyczne	0,00552	0,001119	0,0001278
								węglowodory aromatyczne	0,000048	9,73E-6	1,11E-6
E10	Kociot	5,5 Z	0,3	0	293	112	72	pył ogółem	2,14E-6	9,35E-6	1,07E-6
								-w tym pył do 2,5 µm	2,14E-6	9,35E-6	1,07E-6
								-w tym pył do 10 µm	2,14E-6	9,35E-6	1,07E-6
								dwutlenek siarki	0,0001708	0,000748	0,0000854
								tlenki azotu jako NO2	0,00649	0,02843	0,00325
								tlenek węgla	0,001281	0,00561	0,000641
D1	DROGA OSOBOWE ON 1 DYSTR	0,5 L	dł.43,4	0	293	77,2	74,3	tlenki azotu jako NO2	0,00001659	0,0001454	0,00001659
								tlenek węgla	1,99E-6	0,00001745	1,99E-6
								węglowodory aromatyczne	3,28E-7	2,87E-6	3,28E-7
								pył ogółem	4,69E-7	4,11E-6	4,69E-7
								-w tym pył do 2,5 µm	4,34E-7	3,80E-6	4,34E-7
								-w tym pył do 10 µm	4,50E-7	3,94E-6	4,50E-7
								dwutlenek siarki	2,34E-8	2,05E-7	2,34E-8
D2	DROGA OSOBOWE ON 2 DYSTR	0,5 L	dł.60,2	0	293	82,3	72,7	tlenki azotu jako NO2	0,00002302	0,0002016	0,00002302
								tlenek węgla	2,76E-6	0,00002421	2,76E-6
								węglowodory aromatyczne	4,55E-7	3,99E-6	4,55E-7
								pył ogółem	6,50E-7	5,70E-6	6,50E-7

								-w tym pył do 2,5 µm	6,01E-7	5,27E-6	6,01E-7
								-w tym pył do 10 µm	6,24E-7	5,47E-6	6,24E-7
								dwutlenek siarki	3,25E-8	2,85E-7	3,25E-8
D3	DROGA OSOBOWE ON 3 DYSTR	0,5 L	dł.69,8	0	293	85,8	67,6	tlenki azotu jako NO2	0,00002669	0,0002338	0,00002669
								tlenek węgla	3,20E-6	0,00002807	3,20E-6
								węglowodory aromatyczne	5,28E-7	4,62E-6	5,28E-7
								pył ogółem	7,54E-7	6,60E-6	7,54E-7
								-w tym pył do 2,5 µm	6,97E-7	6,11E-6	6,97E-7
								-w tym pył do 10 µm	7,24E-7	6,34E-6	7,24E-7
								dwutlenek siarki	3,77E-8	3,30E-7	3,77E-8
D4	DROGA OSOBOWE Pb 1 DYSTR	0,5 L	dł.43,4	0	293	77,2	74,3	tlenki azotu jako NO2	0,00001104	0,0000967	0,00001104
								tlenek węgla	0,0001552	0,00136	0,0001552
								węglowodory aromatyczne	7,43E-6	0,0000651	7,43E-6
								pył ogółem	7,66E-8	6,71E-7	7,66E-8
								-w tym pył do 2,5 µm	7,09E-8	6,21E-7	7,09E-8
								-w tym pył do 10 µm	7,35E-8	6,44E-7	7,35E-8
								dwutlenek siarki	3,76E-8	3,29E-7	3,76E-8
D5	DROGA OSOBOWE Pb 2 DYSTR	0,5 L	dł.60,2	0	293	82,3	72,7	tlenki azotu jako NO2	0,00001531	0,0001341	0,00001531
								tlenek węgla	0,0002153	0,001886	0,0002153
								węglowodory aromatyczne	0,00001031	0,0000903	0,00001031
								pył ogółem	1,06E-7	9,31E-7	1,06E-7
								-w tym pył do 2,5 µm	9,83E-8	8,61E-7	9,83E-8
								-w tym pył do 10 µm	1,02E-7	8,94E-7	1,02E-7
								dwutlenek siarki	5,21E-8	4,56E-7	5,21E-8
D6	DROGA OSOBOWE Pb 3 DYSTR	0,5 L	dł.69,8	0	293	85,8	67,6	tlenki azotu jako NO2	0,00001775	0,0001555	0,00001775
								tlenek węgla	0,0002496	0,002187	0,0002496

								węglowodory aromatyczne	0,00001196	0,0001047	0,00001196
								pył ogółem	1,23E-7	1,08E-6	1,23E-7
								-w tym pył do 2,5 µm	1,14E-7	9,99E-7	1,14E-7
								-w tym pył do 10 µm	1,18E-7	1,04E-6	1,18E-7
								dwutlenek siarki	6,04E-8	5,29E-7	6,04E-8
D7	DROGA TIR	1 L	dł.43	0	293	79,2	71,2	tlenki azotu jako NO2	0,00002651	0,0002322	0,00002651
								tlenek węgla	4,38E-6	0,0000384	4,38E-6
								węglowodory aromatyczne	6,41E-7	5,62E-6	6,41E-7
								pył ogółem	3,88E-7	3,40E-6	3,88E-7
								-w tym pył do 2,5 µm	3,59E-7	3,15E-6	3,59E-7
								-w tym pył do 10 µm	3,73E-7	3,27E-6	3,73E-7
								dwutlenek siarki	3,61E-8	3,16E-7	3,61E-8
D8	DROGA cysterna	1 L	dł.52,2	0	293	78	68,2	tlenki azotu jako NO2	0,00001916	0,0001119	0,00001277
								tlenek węgla	3,16E-6	0,00001848	2,11E-6
								węglowodory aromatyczne	4,63E-7	2,71E-6	3,09E-7
								pył ogółem	2,81E-7	1,64E-6	1,87E-7
								-w tym pył do 2,5 µm	2,60E-7	1,52E-6	1,73E-7
								-w tym pył do 10 µm	2,69E-7	1,57E-6	1,80E-7
								dwutlenek siarki	2,61E-8	1,52E-7	1,74E-8
D9	DROGA osobowe LPG	0,5 L	dł.60,4	0	293	84,2	69,8	tlenki azotu jako NO2	7,72E-6	0,0000676	7,72E-6
								tlenek węgla	0,0001535	0,001345	0,0001535
								węglowodory aromatyczne	0,00001029	0,0000902	0,00001029

Legenda: P -powierzchniowy, L -liniowy, Z -zadaszony B -wylot boczny

Łączna emisja roczna

Nazwa zanieczyszczenia	Emisja roczna Mg
pył ogółem	0,0000335
w tym pył do 2,5 µm	0,0000317
w tym pył do 10 µm	0,0000325
dwutlenek siarki	0,000751
tlenki azotu jako NO2	0,02981
tlenek węgla	0,01252
alkohol metylowy	0,00731
benzen	0,002436
węglowodory aromatyczne	0,0839
alkohol izobutyłowy	0,02436
węglowodory alifatyczne	0,0797

Zestawienie wartości dopuszczalnych i odniesienia oraz tła zanieczyszczenia atmosfery

Substancja	CAS	D1, µg/m ³	Da, µg/m ³	R, µg/m ³
pył PM-10	-	280	40	0
dwutlenek siarki (Ditlenek siarki)	7446-09-5	350	20	4
tlenki azotu jako NO2 (Ditlenek azotu)	10102-44-0,10102-43-9	200	40	24
tlenek węgla	630-08-0	30000	-	-
alkohol metylowy (Metanol)	67-56-1	1000	130	13
benzen	71-43-2	30	5	0,5
węglowodory aromatyczne	-	1000	43	4,3
alkohol izobutyłowy (2-Metylopropan-1-ol)	78-83-1	300	26	2,6
węglowodory alifatyczne	-	3000	1000	100
pył zawieszony PM 2,5	-	-	25	20

Tło opadu pyłu 20 g/m²/rok

Ustalenie zakresu obliczeń

Liczba emitorów podlegających klasyfikacji: 19

Zakres pełny	Zakres skrócony
węglowodory alifatyczne węglowodory aromatyczne benzen alkohol metylowy alkohol izobutyłowy tlenki azotu jako NO2	pył PM-10 dwutlenek siarki tlenek węgla

Kryterium obliczania opadu pyłu

Analizowano emisję pyłu z 9 emitorów.

$$0,0667/n \cdot \Sigma h^{3,15} = 1,612$$

Suma emisji średniorocznej pyłu = 0,00106 < 1,612 [mg/s]

Łączna emisja roczna = 0,000033 < 10 000 [Mg]

Nie potrzeba obliczać opadu pyłu.

Wyniki obliczeń stężeń węglowodorów alifatycznych w sieci receptorów

X m	Y m	Stęż. maksym. µg/m ³	Stęż. średnie µg/m ³	Kryt. stan.r.	Kryt. pręd.w.	Kryt. kier.w.	Częst. przekr., % 3000 µg/m ³
40	20	214,2	0,152	6	1	NNE	0,00
60	20	252,8	0,193	6	1	NNE	0,00
80	20	258,9	0,258	6	1	N	0,00
100	20	258,9	0,320	6	1	NNW	0,00
120	20	239,6	0,318	6	1	NNW	0,00
140	20	200,5	0,273	6	1	WNW	0,00
160	20	158,5	0,217	6	1	WNW	0,00
40	30	239,9	0,198	6	1	ENE	0,00
60	30	298,4	0,269	6	1	NNE	0,00
80	30	302,0	0,383	6	1	N	0,00
100	30	319,4	0,497	6	1	NNW	0,00
120	30	285,7	0,466	6	1	NNW	0,00
140	30	227,2	0,363	6	1	WNW	0,00
160	30	172,8	0,263	6	1	WNW	0,00
40	40	272,0	0,263	6	1	ENE	0,00
60	40	356,3	0,398	6	1	NNE	0,00
80	40	372,8	0,631	6	1	NNE	0,00
100	40	418,9	0,894	6	1	NNW	0,00
120	40	355,5	0,732	6	1	WNW	0,00
140	40	255,5	0,472	6	1	WNW	0,00
160	40	186,1	0,310	6	1	WNW	0,00
40	50	303,0	0,359	6	1	ENE	0,00
60	50	448,1	0,627	6	1	ENE	0,00
80	50	485,2	1,265	6	1	NNE	0,00
120	50	458,6	1,192	6	1	WNW	0,00
140	50	283,4	0,598	6	1	WNW	0,00
160	50	197,6	0,355	6	1	W	0,00
40	60	321,4	0,468	6	1	E	0,00
60	60	526,2	1,026	6	1	E	0,00
120	60	556,7	1,698	6	1	W	0,00
140	60	300,2	0,684	6	1	W	0,00
160	60	201,6	0,383	6	1	W	0,00
40	70	315,7	0,557	6	1	E	0,00
60	70	533,4	1,418	6	1	E	0,00

140	70	301,6	0,674	6	1	W	0,00
160	70	203,8	0,379	6	1	W	0,00
40	80	299,7	0,597	6	1	ESE	0,00
60	80	459,3	1,405	6	1	ESE	0,00
120	80	443,7	1,141	6	1	WSW	0,00
140	80	281,4	0,577	6	1	WSW	0,00
160	80	196,8	0,347	6	1	W	0,00
40	90	267,1	0,575	6	1	ESE	0,00
60	90	367,4	1,088	6	1	ESE	0,00
100	90	414,9	1,462	6	1	SSW	0,00
120	90	348,2	0,774	6	1	WSW	0,00
140	90	257,3	0,459	6	1	WSW	0,00
160	90	186,4	0,301	6	1	WSW	0,00
40	100	237,1	0,504	6	1	ESE	0,00
60	100	301,4	0,789	6	1	SSE	0,00
80	100	344,8	1,070	6	1	S	0,00
100	100	326,9	0,892	6	1	SSW	0,00
120	100	291,2	0,551	6	1	SSW	0,00
140	100	228,3	0,364	6	1	WSW	0,00
160	100	175,6	0,255	6	1	WSW	0,00
40	110	208,8	0,422	6	1	SSE	0,00
60	110	248,4	0,581	6	1	SSE	0,00
80	110	272,2	0,705	6	1	S	0,00
100	110	274,2	0,608	6	1	SSW	0,00
120	110	244,0	0,413	6	1	SSW	0,00
140	110	201,8	0,292	6	1	WSW	0,00
160	110	162,1	0,216	6	1	WSW	0,00

Wyniki obliczeń stężeń węglowodorów alifatycznych w dodatkowych punktach

Lp	Opis punktu	X m	Y m	Wysok. m	Stęż. max. µg/m ³	Stęż.śred. µg/m ³	Częst.prz.,% 3000	Kryt. stan.r.	Kryt. pręd.w.	Kryt. kier.w.
1	BM1	133,7	81,2	1	316,2	0,674	0,00	6	1	WSW
2		133,7	81,2	2	308,0	0,660	0,00	6	1	WSW
3		133,7	81,2	3	294,7	0,637	0,00	6	1	WSW
4		133,7	81,2	4	277,0	0,606	0,00	6	1	WSW
5		133,7	81,2	5	255,6	0,569	0,00	6	1	WSW
6		133,7	81,2	6	231,5	0,527	0,00	6	1	WSW
7		133,7	81,2	7	205,7	0,482	0,00	6	1	WSW
8	BM2	121,2	61,6	1	530,4	1,595	0,00	6	1	W
9		121,2	61,6	2	508,3	1,532	0,00	6	1	W
10		121,2	61,6	3	473,7	1,433	0,00	6	1	W
11		121,2	61,6	4	429,2	1,306	0,00	6	1	W
12		121,2	61,6	5	378,4	1,161	0,00	6	1	W
13		121,2	61,6	6	324,6	1,008	0,00	6	1	W
14		121,2	61,6	7	271,0	0,857	0,00	6	1	W
15	BM3	121,2	61,6	8	220,6	0,713	0,00	6	1	W
16		93,1	40,4	1	404,8	0,839	0,00	6	1	N
17		93,1	40,4	2	381,6	0,803	0,00	6	1	N

18		93,1	40,4	3	346,3	0,746	0,00	6	1	N
19		93,1	40,4	4	302,8	0,673	0,00	6	1	N
20		93,1	40,4	5	266,0	0,590	0,00	6	1	NNW
21		93,1	40,4	6	236,1	0,503	0,00	6	1	NNW
22		93,1	40,4	7	202,7	0,418	0,00	6	1	NNW
23		93,1	40,4	8	167,1	0,338	0,00	6	1	NNW

Wyniki obliczeń stężeń węglowodorów aromatyczne w sieci receptorów

X m	Y m	Stęż. maksym. µg/m ³	Stęż. średnie µg/m ³	Kryt. stan.r.	Kryt. pręđ.w.	Kryt. kier.w.	Częst. przekr., % 1000 µg/m ³
40	20	189,5	0,158	6	1	NNE	0,00
60	20	221,1	0,199	6	1	NNE	0,00
80	20	221,4	0,266	6	1	N	0,00
100	20	221,2	0,330	6	1	NNW	0,00
120	20	211,3	0,328	6	1	NNW	0,00
140	20	177,7	0,284	6	1	WNW	0,00
160	20	141,1	0,226	6	1	WNW	0,00
40	30	209,8	0,204	6	1	ENE	0,00
60	30	261,7	0,276	6	1	NNE	0,00
80	30	263,4	0,393	6	1	N	0,00
100	30	267,2	0,510	6	1	NNW	0,00
120	30	247,4	0,479	6	1	NNW	0,00
140	30	205,2	0,378	6	1	WNW	0,00
160	30	154,2	0,274	6	1	WNW	0,00
40	40	239,0	0,270	6	1	ENE	0,00
60	40	307,3	0,408	6	1	NNE	0,00
80	40	315,2	0,642	6	1	N	0,00
100	40	329,1	0,908	6	1	NNW	0,00
120	40	307,3	0,753	6	1	WNW	0,00
140	40	228,5	0,493	6	1	WNW	0,00
160	40	165,8	0,325	6	1	WNW	0,00
40	50	269,2	0,368	6	1	ENE	0,00
60	50	384,8	0,640	6	1	ENE	0,00
80	50	395,1	1,267	6	1	NNE	0,00
120	50	400,1	1,242	6	1	WNW	0,00
140	50	251,1	0,626	6	1	WNW	0,00
160	50	176,2	0,372	6	1	W	0,00
40	60	286,8	0,486	6	1	E	0,00
60	60	456,5	1,043	6	1	E	0,00
120	60	493,0	1,796	6	1	W	0,00
140	60	270,0	0,722	6	1	W	0,00

160	60	181,1	0,403	6	1	W	0,00
40	70	285,5	0,574	6	1	E	0,00
60	70	461,7	1,452	6	1	E	0,00
140	70	268,6	0,715	6	1	W	0,00
160	70	182,2	0,399	6	1	W	0,00
40	80	270,0	0,623	6	1	ESE	0,00
60	80	394,3	1,464	6	1	ESE	0,00
120	80	390,2	1,225	6	1	WSW	0,00
140	80	253,1	0,615	6	1	WSW	0,00
160	80	176,4	0,367	6	1	W	0,00
40	90	241,1	0,601	6	1	ESE	0,00
60	90	318,8	1,144	6	1	ESE	0,00
100	90	353,5	1,572	6	1	SSW	0,00
120	90	304,6	0,827	6	1	WSW	0,00
140	90	229,4	0,487	6	1	WSW	0,00
160	90	167,9	0,318	6	1	WSW	0,00
40	100	215,7	0,529	6	1	ESE	0,00
60	100	266,4	0,832	6	1	SSE	0,00
80	100	289,1	1,136	6	1	S	0,00
100	100	286,3	0,952	6	1	SSW	0,00
120	100	256,7	0,587	6	1	SSW	0,00
140	100	203,4	0,387	6	1	WSW	0,00
160	100	155,6	0,270	6	1	WSW	0,00
40	110	184,4	0,444	6	1	SSE	0,00
60	110	216,1	0,614	6	1	SSE	0,00
80	110	233,4	0,747	6	1	S	0,00
100	110	238,4	0,647	6	1	SSW	0,00
120	110	215,3	0,439	6	1	SSW	0,00
140	110	179,4	0,310	6	1	WSW	0,00
160	110	144,6	0,229	6	1	WSW	0,00

Wyniki obliczeń stężeń węglowodorów aromatyczne w dodatkowych punktach

Lp	Opis punktu	X m	Y m	Wysok. m	Stęż. max. µg/m ³	Stęż. śred. µg/m ³	Częst.prz.,% 1000	Kryt. stan.r.	Kryt. pręd.w.	Kryt. kier.w.
1	BM1	133,7	81,2	1	279,6	0,716	0,00	6	1	WSW
2		133,7	81,2	2	272,5	0,701	0,00	6	1	WSW
3		133,7	81,2	3	261,1	0,676	0,00	6	1	WSW
4		133,7	81,2	4	245,8	0,643	0,00	6	1	WSW
5		133,7	81,2	5	227,3	0,603	0,00	6	1	WSW
6		133,7	81,2	6	206,3	0,558	0,00	6	1	WSW
7		133,7	81,2	7	183,7	0,510	0,00	6	1	WSW
8	BM2	121,2	61,6	1	470,5	1,692	0,00	6	1	W
9		121,2	61,6	2	451,7	1,623	0,00	6	1	W
10		121,2	61,6	3	422,3	1,517	0,00	6	1	W

11		121,2	61,6	4	384,3	1,380	0,00	6	1	W
12		121,2	61,6	5	340,6	1,225	0,00	6	1	W
13		121,2	61,6	6	294,0	1,061	0,00	6	1	W
14		121,2	61,6	7	247,2	0,899	0,00	6	1	W
15		121,2	61,6	8	202,4	0,747	0,00	6	1	W
16	BM3	93,1	40,4	1	322,4	0,851	0,00	6	1	N
17		93,1	40,4	2	304,6	0,815	0,00	6	1	N
18		93,1	40,4	3	283,6	0,759	0,00	6	1	NNW
19		93,1	40,4	4	269,5	0,687	0,00	6	1	NNW
20		93,1	40,4	5	252,4	0,605	0,00	6	1	NNW
21		93,1	40,4	6	229,9	0,518	0,00	6	1	NNW
22		93,1	40,4	7	201,0	0,433	0,00	6	1	NNW
23		93,1	40,4	8	167,7	0,352	0,00	6	1	NNW

Wyniki obliczeń stężeń benzenu w sieci receptorów

X m	Y m	Stęż. maksym. µg/m ³	Stęż. średnie µg/m ³	Kryt. stan.r.	Kryt. pręđ.w.	Kryt. kier.w.	Częst. przekr., % 30 µg/m ³
40	20	5,43	0,0046	6	1	NNE	0,00
60	20	6,35	0,0058	6	1	NNE	0,00
80	20	6,37	0,0077	6	1	N	0,00
100	20	6,38	0,0096	6	1	NNW	0,00
120	20	6,11	0,0096	6	1	NNW	0,00
140	20	5,12	0,0083	6	1	WNW	0,00
160	20	4,07	0,0066	6	1	WNW	0,00
40	30	6,02	0,0059	6	1	ENE	0,00
60	30	7,52	0,0080	6	1	NNE	0,00
80	30	7,59	0,0114	6	1	N	0,00
100	30	7,75	0,0148	6	1	NNW	0,00
120	30	7,17	0,0140	6	1	NNW	0,00
140	30	5,93	0,0110	6	1	WNW	0,00
160	30	4,44	0,0080	6	1	WNW	0,00
40	40	6,86	0,0079	6	1	ENE	0,00
60	40	8,83	0,0119	6	1	NNE	0,00
80	40	9,14	0,0187	6	1	N	0,00
100	40	9,58	0,0264	6	1	NNW	0,00
120	40	8,91	0,0220	6	1	WNW	0,00
140	40	6,61	0,0144	6	1	WNW	0,00
160	40	4,78	0,0095	6	1	WNW	0,00
40	50	7,74	0,0107	6	1	ENE	0,00
60	50	11,08	0,0186	6	1	ENE	0,00
80	50	11,51	0,0369	6	1	NNE	0,00
120	50	11,61	0,0362	6	1	WNW	0,00
140	50	7,25	0,0182	6	1	WNW	0,00
160	50	5,08	0,0108	6	1	W	0,00
40	60	8,25	0,0142	6	1	E	0,00

60	60	13,20	0,0304	6	1	E	0,00
120	60	14,29	0,0524	6	1	W	0,00
140	60	7,80	0,0210	6	1	W	0,00
160	60	5,22	0,0117	6	1	W	0,00
40	70	8,24	0,0167	6	1	E	0,00
60	70	13,40	0,0423	6	1	E	0,00
140	70	7,75	0,0209	6	1	W	0,00
160	70	5,25	0,0116	6	1	W	0,00
40	80	7,79	0,0182	6	1	ESE	0,00
60	80	11,44	0,0427	6	1	ESE	0,00
120	80	11,27	0,0357	6	1	WSW	0,00
140	80	7,30	0,0179	6	1	WSW	0,00
160	80	5,08	0,0107	6	1	W	0,00
40	90	6,95	0,0175	6	1	ESE	0,00
60	90	9,24	0,0333	6	1	ESE	0,00
100	90	10,21	0,0458	6	1	SSW	0,00
120	90	8,78	0,0241	6	1	WSW	0,00
140	90	6,61	0,0142	6	1	WSW	0,00
160	90	4,84	0,0093	6	1	WSW	0,00
40	100	6,22	0,0154	6	1	ESE	0,00
60	100	7,71	0,0242	6	1	SSE	0,00
80	100	8,37	0,0331	6	1	S	0,00
100	100	8,27	0,0277	6	1	SSW	0,00
120	100	7,40	0,0171	6	1	SSW	0,00
140	100	5,86	0,0113	6	1	WSW	0,00
160	100	4,48	0,0079	6	1	WSW	0,00
40	110	5,31	0,0129	6	1	SSE	0,00
60	110	6,23	0,0179	6	1	SSE	0,00
80	110	6,73	0,0218	6	1	S	0,00
100	110	6,87	0,0189	6	1	SSW	0,00
120	110	6,20	0,0128	6	1	SSW	0,00
140	110	5,17	0,0090	6	1	WSW	0,00
160	110	4,16	0,0067	6	1	WSW	0,00

Wyniki obliczeń stężeń benzenu w dodatkowych punktach

Lp	Opis punktu	X m	Y m	Wysok. m	Stęż. max. µg/m ³	Stęż. śred. µg/m ³	Częst. prz., % 30	Kryt. stan.r.	Kryt. pręd.w.	Kryt. kier.w.
1	BMI	133,7	81,2	1	8,06	0,0209	0,00	6	1	WSW
2		133,7	81,2	2	7,86	0,0204	0,00	6	1	WSW
3		133,7	81,2	3	7,53	0,0197	0,00	6	1	WSW
4		133,7	81,2	4	7,08	0,0188	0,00	6	1	WSW

5		133,7	81,2	5	6,55	0,0176	0,00	6	1	WSW
6		133,7	81,2	6	5,94	0,0163	0,00	6	1	WSW
7		133,7	81,2	7	5,28	0,0149	0,00	6	1	WSW
8	BM2	121,2	61,6	1	13,62	0,0493	0,00	6	1	W
9		121,2	61,6	2	13,08	0,0474	0,00	6	1	W
10		121,2	61,6	3	12,21	0,0442	0,00	6	1	W
11		121,2	61,6	4	11,11	0,0403	0,00	6	1	W
12		121,2	61,6	5	9,84	0,0357	0,00	6	1	W
13		121,2	61,6	6	8,48	0,0309	0,00	6	1	W
14		121,2	61,6	7	7,12	0,0262	0,00	6	1	W
15		121,2	61,6	8	5,82	0,0218	0,00	6	1	W
16	BM3	93,1	40,4	1	9,39	0,0248	0,00	6	1	N
17		93,1	40,4	2	8,87	0,0237	0,00	6	1	N
18		93,1	40,4	3	8,20	0,0221	0,00	6	1	NNW
19		93,1	40,4	4	7,76	0,0200	0,00	6	1	NNW
20		93,1	40,4	5	7,24	0,0176	0,00	6	1	NNW
21		93,1	40,4	6	6,57	0,0151	0,00	6	1	NNW
22		93,1	40,4	7	5,74	0,0126	0,00	6	1	NNW
23		93,1	40,4	8	4,78	0,0102	0,00	6	1	NNW

Wyniki obliczeń stężeń alkoholu metylowego w sieci receptorów

X m	Y m	Stęż. maksym. µg/m ³	Stęż. średnie µg/m ³	Kryt. stan.r.	Kryt. pręd.w.	Kryt. kier.w.	Częst. przekr., % 1000 µg/m ³
40	20	16,3	0,014	6	1	NNE	0,00
60	20	19,0	0,017	6	1	NNE	0,00
80	20	19,1	0,023	6	1	N	0,00
100	20	19,2	0,029	6	1	NNW	0,00
120	20	18,3	0,029	6	1	NNW	0,00
140	20	15,4	0,025	6	1	WNW	0,00
160	20	12,2	0,020	6	1	WNW	0,00
40	30	18,0	0,018	6	1	ENE	0,00
60	30	22,6	0,024	6	1	NNE	0,00
80	30	22,8	0,034	6	1	N	0,00
100	30	23,3	0,045	6	1	NNW	0,00
120	30	21,5	0,042	6	1	NNW	0,00
140	30	17,8	0,033	6	1	WNW	0,00
160	30	13,3	0,024	6	1	WNW	0,00
40	40	20,6	0,024	6	1	ENE	0,00
60	40	26,5	0,036	6	1	NNE	0,00
80	40	27,4	0,056	6	1	N	0,00
100	40	28,7	0,079	6	1	NNW	0,00
120	40	26,7	0,066	6	1	WNW	0,00
140	40	19,8	0,043	6	1	WNW	0,00
160	40	14,3	0,028	6	1	WNW	0,00
40	50	23,2	0,032	6	1	ENE	0,00
60	50	33,2	0,056	6	1	ENE	0,00
80	50	34,5	0,111	6	1	NNE	0,00
120	50	34,8	0,109	6	1	WNW	0,00

140	50	21,8	0,055	6	1	WNW	0,00
160	50	15,2	0,033	6	1	W	0,00
40	60	24,8	0,043	6	1	E	0,00
60	60	39,6	0,091	6	1	E	0,00
120	60	42,9	0,157	6	1	W	0,00
140	60	23,4	0,063	6	1	W	0,00
160	60	15,7	0,035	6	1	W	0,00
40	70	24,7	0,050	6	1	E	0,00
60	70	40,2	0,127	6	1	E	0,00
140	70	23,2	0,063	6	1	W	0,00
160	70	15,7	0,035	6	1	W	0,00
40	80	23,4	0,054	6	1	ESE	0,00
60	80	34,3	0,128	6	1	ESE	0,00
120	80	33,8	0,107	6	1	WSW	0,00
140	80	21,9	0,054	6	1	WSW	0,00
160	80	15,2	0,032	6	1	W	0,00
40	90	20,9	0,053	6	1	ESE	0,00
60	90	27,7	0,100	6	1	ESE	0,00
100	90	30,6	0,137	6	1	SSW	0,00
120	90	26,4	0,072	6	1	WSW	0,00
140	90	19,8	0,043	6	1	WSW	0,00
160	90	14,5	0,028	6	1	WSW	0,00
40	100	18,7	0,046	6	1	ESE	0,00
60	100	23,1	0,073	6	1	SSE	0,00
80	100	25,1	0,099	6	1	S	0,00
100	100	24,8	0,083	6	1	SSW	0,00
120	100	22,2	0,051	6	1	SSW	0,00
140	100	17,6	0,034	6	1	WSW	0,00
160	100	13,4	0,024	6	1	WSW	0,00
40	110	15,9	0,039	6	1	SSE	0,00
60	110	18,7	0,054	6	1	SSE	0,00
80	110	20,2	0,065	6	1	S	0,00
100	110	20,6	0,057	6	1	SSW	0,00
120	110	18,6	0,038	6	1	SSW	0,00
140	110	15,5	0,027	6	1	WSW	0,00
160	110	12,5	0,020	6	1	WSW	0,00

Wyniki obliczeń stężeń alkoholu metylowego w dodatkowych punktach

Lp	Opis punktu	X m	Y m	Wysok. m	Stęż. max. µg/m ³	Stęż. śred. µg/m ³	Częst. prz., % 1000	Kryt. stan.r.	Kryt. pręd.w.	Kryt. kier.w.
1	BM1	133,7	81,2	1	24,2	0,063	0,00	6	1	WSW
2		133,7	81,2	2	23,6	0,061	0,00	6	1	WSW
3		133,7	81,2	3	22,6	0,059	0,00	6	1	WSW
4		133,7	81,2	4	21,3	0,056	0,00	6	1	WSW
5		133,7	81,2	5	19,6	0,053	0,00	6	1	WSW
6		133,7	81,2	6	17,8	0,049	0,00	6	1	WSW
7		133,7	81,2	7	15,9	0,045	0,00	6	1	WSW
8	BM2	121,2	61,6	1	40,9	0,148	0,00	6	1	W
9		121,2	61,6	2	39,2	0,142	0,00	6	1	W
10		121,2	61,6	3	36,6	0,133	0,00	6	1	W
11		121,2	61,6	4	33,3	0,121	0,00	6	1	W
12		121,2	61,6	5	29,5	0,107	0,00	6	1	W
13		121,2	61,6	6	25,4	0,093	0,00	6	1	W
14		121,2	61,6	7	21,4	0,079	0,00	6	1	W
15	BM3	121,2	61,6	8	17,5	0,065	0,00	6	1	W
16		93,1	40,4	1	28,2	0,074	0,00	6	1	N
17		93,1	40,4	2	26,6	0,071	0,00	6	1	N
18		93,1	40,4	3	24,6	0,066	0,00	6	1	NNW
19		93,1	40,4	4	23,3	0,060	0,00	6	1	NNW
20		93,1	40,4	5	21,7	0,053	0,00	6	1	NNW
21		93,1	40,4	6	19,7	0,045	0,00	6	1	NNW
22		93,1	40,4	7	17,2	0,038	0,00	6	1	NNW
23	93,1	40,4	8	14,3	0,031	0,00	6	1	NNW	

Wyniki obliczeń stężeń alkoholu izobutylowego w sieci receptorów

X m	Y m	Stęż. maksym. µg/m ³	Stęż. średnie µg/m ³	Kryt. stan.r.	Kryt. pręd.w.	Kryt. kier.w.	Częst. przekr., % 300 µg/m ³
40	20	54,3	0,046	6	1	NNE	0,00
60	20	63,5	0,058	6	1	NNE	0,00
80	20	63,7	0,077	6	1	N	0,00
100	20	63,8	0,096	6	1	NNW	0,00
120	20	61,1	0,096	6	1	NNW	0,00
140	20	51,2	0,083	6	1	WNW	0,00
160	20	40,7	0,066	6	1	WNW	0,00
40	30	60,2	0,059	6	1	ENE	0,00
60	30	75,2	0,080	6	1	NNE	0,00
80	30	75,9	0,114	6	1	N	0,00
100	30	77,5	0,148	6	1	NNW	0,00
120	30	71,7	0,140	6	1	NNW	0,00
140	30	59,3	0,110	6	1	WNW	0,00
160	30	44,4	0,080	6	1	WNW	0,00
40	40	68,6	0,079	6	1	ENE	0,00
60	40	88,3	0,119	6	1	NNE	0,00
80	40	91,4	0,187	6	1	N	0,00
100	40	95,8	0,264	6	1	NNW	0,00
120	40	89,1	0,220	6	1	WNW	0,00
140	40	66,1	0,144	6	1	WNW	0,00
160	40	47,8	0,095	6	1	WNW	0,00
40	50	77,4	0,107	6	1	ENE	0,00

60	50	110,8	0,186	6	1	ENE	0,00
80	50	115,1	0,369	6	1	NNE	0,00
120	50	116,1	0,362	6	1	WNW	0,00
140	50	72,5	0,182	6	1	WNW	0,00
160	50	50,8	0,108	6	1	W	0,00
40	60	82,5	0,142	6	1	E	0,00
60	60	132,0	0,304	6	1	E	0,00
120	60	142,9	0,524	6	1	W	0,00
140	60	78,0	0,210	6	1	W	0,00
160	60	52,2	0,117	6	1	W	0,00
40	70	82,4	0,167	6	1	E	0,00
60	70	134,0	0,423	6	1	E	0,00
140	70	77,5	0,209	6	1	W	0,00
160	70	52,5	0,116	6	1	W	0,00
40	80	77,9	0,182	6	1	ESE	0,00
60	80	114,4	0,427	6	1	ESE	0,00
120	80	112,7	0,357	6	1	WSW	0,00
140	80	73,0	0,179	6	1	WSW	0,00
160	80	50,8	0,107	6	1	W	0,00
40	90	69,5	0,175	6	1	ESE	0,00
60	90	92,4	0,333	6	1	ESE	0,00
100	90	102,1	0,458	6	1	SSW	0,00
120	90	87,8	0,241	6	1	WSW	0,00
140	90	66,1	0,142	6	1	WSW	0,00
160	90	48,4	0,093	6	1	WSW	0,00
40	100	62,2	0,154	6	1	ESE	0,00
60	100	77,1	0,242	6	1	SSE	0,00
80	100	83,7	0,331	6	1	S	0,00
100	100	82,7	0,277	6	1	SSW	0,00
120	100	74,0	0,171	6	1	SSW	0,00
140	100	58,6	0,113	6	1	WSW	0,00
160	100	44,8	0,079	6	1	WSW	0,00
40	110	53,1	0,129	6	1	SSE	0,00
60	110	62,3	0,179	6	1	SSE	0,00
80	110	67,3	0,218	6	1	S	0,00
100	110	68,7	0,189	6	1	SSW	0,00
120	110	62,0	0,128	6	1	SSW	0,00
140	110	51,7	0,090	6	1	WSW	0,00
160	110	41,6	0,067	6	1	WSW	0,00

Wyniki obliczeń stężeń alkoholu izobutylowego w dodatkowych punktach

Lp	Opis punktu	X m	Y m	Wysok. m	Stęż. max. µg/m ³	Stęż. śred. µg/m ³	Częst.prz.,% 300	Kryt. stan.r.	Kryt. pręd.w.	Kryt. kier.w.
1	BM1	133,7	81,2	1	80,6	0,209	0,00	6	1	WSW
2		133,7	81,2	2	78,6	0,204	0,00	6	1	WSW
3		133,7	81,2	3	75,3	0,197	0,00	6	1	WSW
4		133,7	81,2	4	70,8	0,188	0,00	6	1	WSW
5		133,7	81,2	5	65,5	0,176	0,00	6	1	WSW
6		133,7	81,2	6	59,4	0,163	0,00	6	1	WSW
7		133,7	81,2	7	52,8	0,149	0,00	6	1	WSW
8	BM2	121,2	61,6	1	136,2	0,493	0,00	6	1	W
9		121,2	61,6	2	130,8	0,474	0,00	6	1	W
10		121,2	61,6	3	122,1	0,442	0,00	6	1	W
11		121,2	61,6	4	111,1	0,403	0,00	6	1	W
12		121,2	61,6	5	98,4	0,357	0,00	6	1	W
13		121,2	61,6	6	84,8	0,309	0,00	6	1	W
14		121,2	61,6	7	71,2	0,262	0,00	6	1	W
15	BM3	121,2	61,6	8	58,2	0,218	0,00	6	1	W
16		93,1	40,4	1	93,9	0,248	0,00	6	1	N
17		93,1	40,4	2	88,7	0,237	0,00	6	1	N
18		93,1	40,4	3	82,0	0,221	0,00	6	1	NNW
19		93,1	40,4	4	77,6	0,200	0,00	6	1	NNW
20		93,1	40,4	5	72,4	0,176	0,00	6	1	NNW
21		93,1	40,4	6	65,7	0,151	0,00	6	1	NNW
22		93,1	40,4	7	57,4	0,126	0,00	6	1	NNW
23	93,1	40,4	8	47,8	0,102	0,00	6	1	NNW	

Wyniki obliczeń stężeń tlenków azotu w sieci receptorów

X m	Y m	Stęż. maksym. µg/m ³	Stęż. średnie µg/m ³	Kryt. stan.r.	Kryt. pręd.w.	Kryt. kier.w.	Częst. przekr.,% 200 µg/m ³
40	20	7,1	0,027	6	1	ENE	0,00
60	20	8,5	0,030	6	1	NNE	0,00
80	20	10,1	0,036	6	1	NNE	0,00
100	20	11,3	0,048	6	1	N	0,00
120	20	11,5	0,055	6	1	N	0,00
140	20	10,4	0,057	6	1	NNW	0,00
160	20	8,9	0,055	6	1	NNW	0,00
40	30	7,6	0,032	6	1	ENE	0,00
60	30	9,3	0,040	6	1	ENE	0,00
80	30	11,4	0,047	6	1	NNE	0,00
100	30	13,0	0,061	6	1	NNE	0,00
120	30	13,2	0,074	6	1	N	0,00
140	30	11,7	0,078	6	1	NNW	0,00
160	30	9,7	0,072	6	1	WNW	0,00
40	40	8,0	0,037	6	1	ENE	0,00
60	40	10,1	0,050	6	1	ENE	0,00
80	40	12,7	0,063	6	1	NNE	0,00
100	40	14,9	0,078	6	1	NNE	0,00
120	40	15,1	0,104	6	1	N	0,00

140	40	13,2	0,113	6	1	NNW	0,00
160	40	10,6	0,093	6	1	WNW	0,00
40	50	8,4	0,046	6	1	ENE	0,00
60	50	10,8	0,065	6	1	ENE	0,00
80	50	13,9	0,093	6	1	ENE	0,00
120	50	16,2	0,145	6	1	NNW	0,00
140	50	14,6	0,163	6	1	WNW	0,00
160	50	11,4	0,119	6	1	WNW	0,00
40	60	8,6	0,055	6	1	E	0,00
60	60	11,3	0,087	6	1	E	0,00
120	60	13,3	0,147	6	1	NNW	0,00
140	60	15,5	0,226	6	1	WNW	0,00
160	60	11,9	0,143	6	1	W	0,00
40	70	8,7	0,063	6	1	E	0,00
60	70	11,5	0,101	6	1	E	0,00
140	70	15,9	0,275	6	1	W	0,00
160	70	12,2	0,156	6	1	W	0,00
40	80	8,7	0,068	6	1	E	0,00
60	80	11,4	0,110	6	1	E	0,00
120	80	9,6	0,110	6	1	SSW	0,00
140	80	15,7	0,236	6	1	WSW	0,00
160	80	12,1	0,144	6	1	W	0,00
40	90	8,5	0,072	6	1	E	0,00
60	90	11,0	0,120	6	1	ESE	0,00
100	90	16,1	0,286	6	1	SSE	0,00
120	90	15,8	0,214	6	1	SSW	0,00
140	90	15,0	0,173	6	1	WSW	0,00
160	90	11,6	0,119	6	1	WSW	0,00
40	100	8,2	0,074	6	1	ESE	0,00
60	100	10,4	0,113	6	1	ESE	0,00
80	100	13,2	0,177	6	1	ESE	0,00
100	100	15,5	0,230	6	1	SSE	0,00
120	100	15,7	0,195	6	1	SSW	0,00
140	100	13,8	0,131	6	1	SSW	0,00
160	100	10,9	0,094	6	1	WSW	0,00
40	110	7,8	0,070	6	1	ESE	0,00
60	110	9,6	0,102	6	1	ESE	0,00
80	110	11,9	0,140	6	1	SSE	0,00
100	110	13,7	0,172	6	1	SSE	0,00

120	110	13,9	0,154	6	1	S	0,00
140	110	12,3	0,104	6	1	SSW	0,00
160	110	10,1	0,077	6	1	WSW	0,00

Wyniki obliczeń stężeń tlenków azotu w dodatkowych punktach

Lp	Opis punktu	X m	Y m	Wysok. m	Stęż. max. µg/m ³	Stęż.śred. µg/m ³	Częst.prz.,% 200	Kryt. stan.r.	Kryt. prę.d.w.	Kryt. kier.w.
1	BM1	133,7	81,2	1	17,1	0,257	0,00	6	1	WSW
2		133,7	81,2	2	19,3	0,273	0,00	6	1	WSW
3		133,7	81,2	3	22,3	0,295	0,00	6	1	WSW
4		133,7	81,2	4	25,1	0,313	0,00	6	1	WSW
5		133,7	81,2	5	26,6	0,322	0,00	6	1	WSW
6		133,7	81,2	6	26,4	0,316	0,00	6	1	WSW
7		133,7	81,2	7	24,3	0,295	0,00	6	1	WSW
8	BM2	121,2	61,6	1	15,6	0,189	0,00	6	1	NNW
9		121,2	61,6	2	23,6	0,278	0,00	6	1	NNW
10		121,2	61,6	3	34,6	0,402	0,00	6	1	NNW
11		121,2	61,6	4	45,5	0,525	0,00	6	1	NNW
12		121,2	61,6	5	52,2	0,602	0,00	6	1	NNW
13		121,2	61,6	6	52,2	0,601	0,00	6	1	NNW
14		121,2	61,6	7	45,3	0,523	0,00	6	1	NNW
15	BM3	121,2	61,6	8	34,2	0,397	0,00	6	1	NNW
16		93,1	40,4	1	14,5	0,073	0,00	6	1	NNE
17		93,1	40,4	2	14,9	0,073	0,00	6	1	NNE
18		93,1	40,4	3	15,4	0,072	0,00	6	1	NNE
19		93,1	40,4	4	15,7	0,071	0,00	6	1	NNE
20		93,1	40,4	5	15,8	0,069	0,00	6	1	NNE
21		93,1	40,4	6	15,3	0,066	0,00	6	1	NNE
22		93,1	40,4	7	14,4	0,062	0,00	6	1	NNE
23	93,1	40,4	8	12,9	0,057	0,00	6	1	NNE	

Zestawienie maksymalnych wartości stężeń w sieci receptorów poza terenem zakładu

Nazwa zanieczyszczenia	Najwyższe stężenie maksymalne, µg/m ³		Maksymalna częstość przekroczeń D1, %		Maksymalne stężenie średnioroczne, µg/m ³	
	Obliczone	Dopuszczalne	Obliczona	Dopuszczalna	Obliczone	Da - R
pył PM-10	0,0	280	0,00	< 0,2	0,000	< 40
dwutlenek siarki	0,4	350	0,00	< 0,274	0,007	< 16
tlenki azotu jako NO2	16,2	200	0,00	< 0,2	0,286	< 16
tlenek węgla	3,4	30000	0,00	< 0,2	0,099	-
alkohol metylowy	42,9	1000	0,00	< 0,2	0,157	< 117
benzen	14,29	30	0,00	< 0,2	0,0524	< 4,5
węglowodory aromatyczne	493,0	1000	0,00	< 0,2	1,796	< 38,7
alkohol izobutyloowy	142,9	300	0,00	< 0,2	0,524	< 23,4
węglowodory alifatyczne	556,7	3000	0,00	< 0,2	1,698	< 900
pył zawieszony PM 2,5	0,0	brak	-	-	0,000	< 5

Zestawienie maksymalnych wartości stężeń w siatce dodatkowej

BM1 X = 133,7 Y = 81,2

Nazwa zanieczyszczenia	Najwyższe stężenie maksymalne, µg/m ³			Częstość przekroczeń D1, %			Stężenie średnioroczne, µg/m ³		
	Z, m	Obliczone	D1	Z, m	Obliczona	Dopuszcz.	Z, m	Obliczone	Da - R
pył PM-10	5	0,0	< 280	-	0,00	< 0,2	5	0,000	< 40
dwutlenek siarki	5	0,7	< 350	-	0,00	< 0,274	5	0,008	< 16
tlenki azotu jako NO2	5	26,6	< 200	-	0,00	< 0,2	5	0,322	< 16
tlenek węgla	5	5,3	< 30000	-	0,00	< 0,2	5	0,071	-
alkohol metylowy	1	24,2	< 1000	-	0,00	< 0,2	1	0,063	< 117
benzen	1	8,06	< 30	-	0,00	< 0,2	1	0,0209	< 4,5
węglowodory aromatyczne	1	279,6	< 1000	-	0,00	< 0,2	1	0,716	< 38,7
alkohol izobutyloowy	1	80,6	< 300	-	0,00	< 0,2	1	0,209	< 23,4
węglowodory alifatyczne	1	316,2	< 3000	-	0,00	< 0,2	1	0,674	< 900
pył zawieszony PM 2,5	5	0,0	brak	-	-	-	5	0,000	< 5

BM2 X = 121,2 Y = 61,6

Nazwa zanieczyszczenia	Najwyższe stężenie maksymalne, $\mu\text{g}/\text{m}^3$			Częstość przekroczeń D1, %			Stężenie średnioroczne, $\mu\text{g}/\text{m}^3$		
	Z, m	Obliczone	D1	Dopuszcz.			Z, m	Obliczone	Da - R
pył PM-10	5	0,0	< 280	-	0,00	< 0,2	5	0,000	< 40
dwutlenek siarki	5	1,4	< 350	-	0,00	< 0,274	5	0,016	< 16
tlenki azotu jako NO2	5	52,2	< 200	-	0,00	< 0,2	5	0,602	< 16
tlenek węgla	5	10,9	< 30000	-	0,00	< 0,2	5	0,138	-
alkohol metylowy	1	40,9	< 1000	-	0,00	< 0,2	1	0,148	< 117
benzen	1	13,62	< 30	-	0,00	< 0,2	1	0,0493	< 4,5
węglowodory aromatyczne	1	470,5	< 1000	-	0,00	< 0,2	1	1,692	< 38,7
alkohol izobutyłowy	1	136,2	< 300	-	0,00	< 0,2	1	0,493	< 23,4
węglowodory alifatyczne	1	530,4	< 3000	-	0,00	< 0,2	1	1,595	< 900
pył zawieszony PM 2,5	5	0,0	brak	-	-	-	5	0,000	< 5

BM3 X = 93,1 Y = 40,4

Nazwa zanieczyszczenia	Najwyższe stężenie maksymalne, $\mu\text{g}/\text{m}^3$			Częstość przekroczeń D1, %			Stężenie średnioroczne, $\mu\text{g}/\text{m}^3$		
	Z, m	Obliczone	D1	Dopuszcz.			Z, m	Obliczone	Da - R
pył PM-10	5	0,0	< 280	-	0,00	< 0,2	2	0,000	< 40
dwutlenek siarki	5	0,4	< 350	-	0,00	< 0,274	1	0,002	< 16
tlenki azotu jako NO2	5	15,8	< 200	-	0,00	< 0,2	1	0,073	< 16
tlenek węgla	5	3,1	< 30000	-	0,00	< 0,2	1	0,039	-
alkohol metylowy	1	28,2	< 1000	-	0,00	< 0,2	1	0,074	< 117
benzen	1	9,39	< 30	-	0,00	< 0,2	1	0,0248	< 4,5
węglowodory aromatyczne	1	322,4	< 1000	-	0,00	< 0,2	1	0,851	< 38,7
alkohol izobutyłowy	1	93,9	< 300	-	0,00	< 0,2	1	0,248	< 23,4
węglowodory alifatyczne	1	404,8	< 3000	-	0,00	< 0,2	1	0,839	< 900
pył zawieszony PM 2,5	5	0,0	brak	-	-	-	2	0,000	< 5

Zestawienie maksymalnych wartości stężeń pyłu PM-10 w sieci receptorów poza terenem zakładu

Parametr	Wartość	X m	Y m	kryt. stan.r.	kryt. prę.d.w.	kryt. kier.w.
Stężenie maksymalne $\mu\text{g}/\text{m}^3$	0,0	60	60	6	1	WSW
Stężenie średnioroczne $\mu\text{g}/\text{m}^3$	0,000	100	90	6	1	ESE
Częstość przekroczeń D1= 280 $\mu\text{g}/\text{m}^3$, %	0,00	-	-	-	-	-

Najwyższa wartość stężeń jednogodzinnych pyłu PM-10 występuje w punkcie o współrzędnych X = 60 Y = 60 m i wynosi 0,0 $\mu\text{g}/\text{m}^3$, wartość ta jest niższa od 0,1*D1.

Zerowa częstość przekroczeń stężeń jednogodzinnych.

Najwyższa wartość stężeń średniorocznych występuje w punkcie o współrzędnych X = 100 Y = 90 m, wynosi 0,000 $\mu\text{g}/\text{m}^3$ i nie przekracza wartości dyspozycyjnej (D_a -R)= 40 $\mu\text{g}/\text{m}^3$.

Zestawienie maksymalnych wartości stężeń w siatce dodatkowej

Parametr	Wartość	X m	Y m	Z m	kryt. stan.r.	kryt. prę.d.w.	kryt. kier.w.
Stężenie maksymalne $\mu\text{g}/\text{m}^3$	0,0	121,2	61,6	5	6	1	NNW
Stężenie średnioroczne $\mu\text{g}/\text{m}^3$	0,000	121,2	61,6	5	6	1	NNW
Częstość przekroczeń D1= 280 $\mu\text{g}/\text{m}^3$, %	0,00	-	-	-	-	-	-

Najwyższa wartość stężeń jednogodzinnych pyłu PM-10 występuje w punkcie o współrzędnych X = 121,2 Y = 61,6 m i wynosi 0,0 $\mu\text{g}/\text{m}^3$, wartość ta jest niższa od 0,1*D1.

Zerowa częstość przekroczeń stężeń jednogodzinnych.

Najwyższa wartość stężeń średniorocznych występuje w punkcie o współrzędnych X = 121,2 Y = 61,6 m, wynosi 0,000 $\mu\text{g}/\text{m}^3$ i nie przekracza wartości dyspozycyjnej (D_a -R)= 40 $\mu\text{g}/\text{m}^3$.

Zestawienie maksymalnych wartości stężeń dwutlenku siarki w sieci receptorów poza terenem zakładu

Parametr	Wartość	X m	Y m	kryt. stan.r.	kryt. pręd.w.	kryt. kier.w.
Stężenie maksymalne $\mu\text{g}/\text{m}^3$	0,4	120	50	6	1	NNW
Stężenie średnioroczne $\mu\text{g}/\text{m}^3$	0,007	100	90	6	1	SSE
Częstość przekroczeń $D1= 350 \mu\text{g}/\text{m}^3, \%$	0,00	-	-	-	-	-

Najwyższa wartość stężeń jednogodzinnych dwutlenku siarki występuje w punkcie o współrzędnych $X = 120$ $Y = 50$ m i wynosi $0,4 \mu\text{g}/\text{m}^3$, wartość ta jest niższa od $0,1 \cdot D1$.

Zerowa częstość przekroczeń stężeń jednogodzinnych.

Najwyższa wartość stężeń średniorocznych występuje w punkcie o współrzędnych $X = 100$ $Y = 90$ m, wynosi $0,007 \mu\text{g}/\text{m}^3$ i nie przekracza wartości dyspozycyjnej (D_a-R)= $16 \mu\text{g}/\text{m}^3$.

Zestawienie maksymalnych wartości stężeń w siatce dodatkowej

Parametr	Wartość	X m	Y m	Z m	kryt. stan.r.	kryt. pręd.w.	kryt. kier.w.
Stężenie maksymalne $\mu\text{g}/\text{m}^3$	1,4	121,2	61,6	5	6	1	NNW
Stężenie średnioroczne $\mu\text{g}/\text{m}^3$	0,016	121,2	61,6	5	6	1	NNW
Częstość przekroczeń $D1= 350 \mu\text{g}/\text{m}^3, \%$	0,00	-	-	-	-	-	-

Najwyższa wartość stężeń jednogodzinnych dwutlenku siarki występuje w punkcie o współrzędnych $X = 121,2$ $Y = 61,6$ m i wynosi $1,4 \mu\text{g}/\text{m}^3$, wartość ta jest niższa od $0,1 \cdot D1$.

Zerowa częstość przekroczeń stężeń jednogodzinnych.

Najwyższa wartość stężeń średniorocznych występuje w punkcie o współrzędnych $X = 121,2$ $Y = 61,6$ m, wynosi $0,016 \mu\text{g}/\text{m}^3$ i nie przekracza wartości dyspozycyjnej (D_a-R)= $16 \mu\text{g}/\text{m}^3$.

Zestawienie maksymalnych wartości stężeń tlenków azotu w sieci receptorów poza terenem zakładu

Parametr	Wartość	X m	Y m	kryt. stan.r.	kryt. pręd.w.	kryt. kier.w.
Stężenie maksymalne $\mu\text{g}/\text{m}^3$	16,2	120	50	6	1	NNW
Stężenie średnioroczne $\mu\text{g}/\text{m}^3$	0,286	100	90	6	1	SSE
Częstość przekroczeń $D1= 200 \mu\text{g}/\text{m}^3, \%$	0,00	-	-	-	-	-

Najwyższa wartość stężeń jednogodzinnych tlenków azotu występuje w punkcie o współrzędnych $X = 120$ $Y = 50$ m i wynosi $16,2 \mu\text{g}/\text{m}^3$, wartość ta jest niższa od $0,1 \cdot D1$.

Zerowa częstość przekroczeń stężeń jednogodzinnych.

Najwyższa wartość stężeń średniorocznych występuje w punkcie o współrzędnych $X = 100$ $Y = 90$ m, wynosi $0,286 \mu\text{g}/\text{m}^3$ i nie przekracza wartości dyspozycyjnej (D_a-R)= $16 \mu\text{g}/\text{m}^3$.

Zestawienie maksymalnych wartości stężeń w siatce dodatkowej

Parametr	Wartość	X m	Y m	Z m	kryt. stan.r.	kryt. pręd.w.	kryt. kier.w.
Stężenie maksymalne $\mu\text{g}/\text{m}^3$	52,2	121,2	61,6	5	6	1	NNW
Stężenie średnioroczne $\mu\text{g}/\text{m}^3$	0,602	121,2	61,6	5	6	1	NNW
Częstość przekroczeń $D1= 200 \mu\text{g}/\text{m}^3, \%$	0,00	-	-	-	-	-	-

Najwyższa wartość stężeń jednogodzinnych tlenków azotu występuje w punkcie o współrzędnych $X = 121,2$ $Y = 61,6$ m i wynosi $52,2 \mu\text{g}/\text{m}^3$.

Zerowa częstość przekroczeń stężeń jednogodzinnych.

Najwyższa wartość stężeń średniorocznych występuje w punkcie o współrzędnych $X = 121,2$ $Y = 61,6$ m, wynosi

0,602 $\mu\text{g}/\text{m}^3$ i nie przekracza wartości dyspozycyjnej ($D_a\text{-R}$)= 16 $\mu\text{g}/\text{m}^3$.

Zestawienie maksymalnych wartości stężeń tlenku węgla w sieci receptorów poza terenem zakładu

Parametr	Wartość	X m	Y m	kryt. stan.r.	kryt. pręđ.w.	kryt. kier.w.
Stężenie maksymalne $\mu\text{g}/\text{m}^3$	3,4	120	60	6	1	NNW
Stężenie średnioroczne $\mu\text{g}/\text{m}^3$	0,099	100	90	6	1	SSE
Częstość przekroczeń $D1= 30000 \mu\text{g}/\text{m}^3, \%$	0,00	-	-	-	-	-

Najwyższa wartość stężeń jednogodzinnych tlenku węgla występuje w punkcie o współrzędnych $X = 120$ $Y = 60$ m i wynosi 3,4 $\mu\text{g}/\text{m}^3$, wartość ta jest niższa od $0,1 \cdot D1$.

Zerowa częstość przekroczeń stężeń jednogodzinnych.

Zestawienie maksymalnych wartości stężeń w siatce dodatkowej

Parametr	Wartość	X m	Y m	Z m	kryt. stan.r.	kryt. pręđ.w.	kryt. kier.w.
Stężenie maksymalne $\mu\text{g}/\text{m}^3$	10,9	121,2	61,6	5	6	1	NNW
Stężenie średnioroczne $\mu\text{g}/\text{m}^3$	0,138	121,2	61,6	5	6	1	NNW
Częstość przekroczeń $D1= 30000 \mu\text{g}/\text{m}^3, \%$	0,00	-	-	-	-	-	-

Najwyższa wartość stężeń jednogodzinnych tlenku węgla występuje w punkcie o współrzędnych $X = 121,2$ $Y = 61,6$ m i wynosi 10,9 $\mu\text{g}/\text{m}^3$, wartość ta jest niższa od $0,1 \cdot D1$.

Zerowa częstość przekroczeń stężeń jednogodzinnych.

Zestawienie maksymalnych wartości stężeń alkoholu metylowego w sieci receptorów poza terenem zakładu

Parametr	Wartość	X m	Y m	kryt. stan.r.	kryt. pręđ.w.	kryt. kier.w.
Stężenie maksymalne $\mu\text{g}/\text{m}^3$	42,9	120	60	6	1	W
Stężenie średnioroczne $\mu\text{g}/\text{m}^3$	0,157	120	60	6	1	W
Częstość przekroczeń $D1= 1000 \mu\text{g}/\text{m}^3, \%$	0,00	-	-	-	-	-

Najwyższa wartość stężeń jednogodzinnych alkoholu metylowego występuje w punkcie o współrzędnych $X = 120$ $Y = 60$ m i wynosi 42,9 $\mu\text{g}/\text{m}^3$, wartość ta jest niższa od $0,1 \cdot D1$.

Zerowa częstość przekroczeń stężeń jednogodzinnych.

Najwyższa wartość stężeń średniorocznych występuje w punkcie o współrzędnych $X = 120$ $Y = 60$ m, wynosi 0,157 $\mu\text{g}/\text{m}^3$ i nie przekracza wartości dyspozycyjnej ($D_a\text{-R}$)= 117 $\mu\text{g}/\text{m}^3$.

Zestawienie maksymalnych wartości stężeń w siatce dodatkowej

Parametr	Wartość	X m	Y m	Z m	kryt. stan.r.	kryt. pręđ.w.	kryt. kier.w.
Stężenie maksymalne $\mu\text{g}/\text{m}^3$	40,9	121,2	61,6	1	6	1	W
Stężenie średnioroczne $\mu\text{g}/\text{m}^3$	0,148	121,2	61,6	1	6	1	W
Częstość przekroczeń $D1= 1000 \mu\text{g}/\text{m}^3, \%$	0,00	-	-	-	-	-	-

Najwyższa wartość stężeń jednogodzinnych alkoholu metylowego występuje w punkcie o współrzędnych $X = 121,2$ $Y = 61,6$ m i wynosi 40,9 $\mu\text{g}/\text{m}^3$, wartość ta jest niższa od $0,1 \cdot D1$.

Zerowa częstość przekroczeń stężeń jednogodzinnych.

Najwyższa wartość stężeń średniorocznych występuje w punkcie o współrzędnych X = 121,2 Y = 61,6 m , wynosi 0,148 $\mu\text{g}/\text{m}^3$ i nie przekracza wartości dyspozycyjnej (D_{a-R})= 117 $\mu\text{g}/\text{m}^3$.

Zestawienie maksymalnych wartości stężeń benzenu w sieci receptorów poza terenem zakładu

Parametr	Wartość	X m	Y m	kryt. stan.r.	kryt. pręd.w.	kryt. kier.w.
Stężenie maksymalne $\mu\text{g}/\text{m}^3$	14,29	120	60	6	1	W
Stężenie średnioroczne $\mu\text{g}/\text{m}^3$	0,0524	120	60	6	1	W
Częstość przekroczeń D1= 30 $\mu\text{g}/\text{m}^3$, %	0,00	-	-	-	-	-

Najwyższa wartość stężeń jednogodzinnych benzenu występuje w punkcie o współrzędnych X = 120 Y = 60 m i wynosi 14,29 $\mu\text{g}/\text{m}^3$.

Zerowa częstość przekroczeń stężeń jednogodzinnych.

Najwyższa wartość stężeń średniorocznych występuje w punkcie o współrzędnych X = 120 Y = 60 m , wynosi 0,0524 $\mu\text{g}/\text{m}^3$ i nie przekracza wartości dyspozycyjnej (D_{a-R})= 4,5 $\mu\text{g}/\text{m}^3$.

Zestawienie maksymalnych wartości stężeń w siatce dodatkowej

Parametr	Wartość	X m	Y m	Z m	kryt. stan.r.	kryt. pręd.w.	kryt. kier.w.
Stężenie maksymalne $\mu\text{g}/\text{m}^3$	13,62	121,2	61,6	1	6	1	W
Stężenie średnioroczne $\mu\text{g}/\text{m}^3$	0,0493	121,2	61,6	1	6	1	W
Częstość przekroczeń D1= 30 $\mu\text{g}/\text{m}^3$, %	0,00	-	-	-	-	-	-

Najwyższa wartość stężeń jednogodzinnych benzenu występuje w punkcie o współrzędnych X = 121,2 Y = 61,6 m i wynosi 13,62 $\mu\text{g}/\text{m}^3$.

Zerowa częstość przekroczeń stężeń jednogodzinnych.

Najwyższa wartość stężeń średniorocznych występuje w punkcie o współrzędnych X = 121,2 Y = 61,6 m , wynosi 0,0493 $\mu\text{g}/\text{m}^3$ i nie przekracza wartości dyspozycyjnej (D_{a-R})= 4,5 $\mu\text{g}/\text{m}^3$.

Zestawienie maksymalnych wartości stężeń węglowodorów aromatyczne w sieci receptorów poza terenem zakładu

Parametr	Wartość	X m	Y m	kryt. stan.r.	kryt. pręd.w.	kryt. kier.w.
Stężenie maksymalne $\mu\text{g}/\text{m}^3$	493,0	120	60	6	1	W
Stężenie średnioroczne $\mu\text{g}/\text{m}^3$	1,796	120	60	6	1	W
Częstość przekroczeń D1= 1000 $\mu\text{g}/\text{m}^3$, %	0,00	-	-	-	-	-

Najwyższa wartość stężeń jednogodzinnych węglowodorów aromatyczne występuje w punkcie o współrzędnych X = 120 Y = 60 m i wynosi 493,0 $\mu\text{g}/\text{m}^3$.

Zerowa częstość przekroczeń stężeń jednogodzinnych.

Najwyższa wartość stężeń średniorocznych występuje w punkcie o współrzędnych X = 120 Y = 60 m , wynosi 1,796 $\mu\text{g}/\text{m}^3$ i nie przekracza wartości dyspozycyjnej (D_{a-R})= 38,7 $\mu\text{g}/\text{m}^3$.

Zestawienie maksymalnych wartości stężeń w siatce dodatkowej

Parametr	Wartość	X m	Y m	Z m	kryt. stan.r.	kryt. pręd.w.	kryt. kier.w.
Stężenie maksymalne $\mu\text{g}/\text{m}^3$	470,5	121,2	61,6	1	6	1	W

Stężenie średnioroczne $\mu\text{g}/\text{m}^3$	1,692	121,2	61,6	1	6	1	W
Częstość przekroczeń D1= 1000 $\mu\text{g}/\text{m}^3$, %	0,00	-	-	-	-	-	-

Najwyższa wartość stężeń jednogodzinnych węglowodorów aromatyczne występuje w punkcie o współrzędnych X = 121,2 Y = 61,6 m i wynosi 470,5 $\mu\text{g}/\text{m}^3$.

Zerowa częstość przekroczeń stężeń jednogodzinnych.

Najwyższa wartość stężeń średniorocznych występuje w punkcie o współrzędnych X = 121,2 Y = 61,6 m , wynosi 1,692 $\mu\text{g}/\text{m}^3$ i nie przekracza wartości dyspozycyjnej ($D_a\text{-R}$)= 38,7 $\mu\text{g}/\text{m}^3$.

Zestawienie maksymalnych wartości stężeń alkoholu izobutyloвого w sieci receptorów poza terenem zakładu

Parametr	Wartość	X m	Y m	kryt. stan.r.	kryt. przed.w.	kryt. kier.w.
Stężenie maksymalne $\mu\text{g}/\text{m}^3$	142,9	120	60	6	1	W
Stężenie średnioroczne $\mu\text{g}/\text{m}^3$	0,524	120	60	6	1	W
Częstość przekroczeń D1= 300 $\mu\text{g}/\text{m}^3$, %	0,00	-	-	-	-	-

Najwyższa wartość stężeń jednogodzinnych alkoholu izobutylowego występuje w punkcie o współrzędnych X = 120 Y = 60 m i wynosi 142,9 $\mu\text{g}/\text{m}^3$.

Zerowa częstość przekroczeń stężeń jednogodzinnych.

Najwyższa wartość stężeń średniorocznych występuje w punkcie o współrzędnych X = 120 Y = 60 m , wynosi 0,524 $\mu\text{g}/\text{m}^3$ i nie przekracza wartości dyspozycyjnej ($D_a\text{-R}$)= 23,4 $\mu\text{g}/\text{m}^3$.

Zestawienie maksymalnych wartości stężeń w siatce dodatkowej

Parametr	Wartość	X m	Y m	Z m	kryt. stan.r.	kryt. przed.w.	kryt. kier.w.
Stężenie maksymalne $\mu\text{g}/\text{m}^3$	136,2	121,2	61,6	1	6	1	W
Stężenie średnioroczne $\mu\text{g}/\text{m}^3$	0,493	121,2	61,6	1	6	1	W
Częstość przekroczeń D1= 300 $\mu\text{g}/\text{m}^3$, %	0,00	-	-	-	-	-	-

Najwyższa wartość stężeń jednogodzinnych alkoholu izobutylowego występuje w punkcie o współrzędnych X = 121,2 Y = 61,6 m i wynosi 136,2 $\mu\text{g}/\text{m}^3$.

Zerowa częstość przekroczeń stężeń jednogodzinnych.

Najwyższa wartość stężeń średniorocznych występuje w punkcie o współrzędnych X = 121,2 Y = 61,6 m , wynosi 0,493 $\mu\text{g}/\text{m}^3$ i nie przekracza wartości dyspozycyjnej ($D_a\text{-R}$)= 23,4 $\mu\text{g}/\text{m}^3$.

Zestawienie maksymalnych wartości stężeń węglowodorów alifatycznych w sieci receptorów poza terenem zakładu

Parametr	Wartość	X m	Y m	kryt. stan.r.	kryt. przed.w.	kryt. kier.w.
Stężenie maksymalne $\mu\text{g}/\text{m}^3$	556,7	120	60	6	1	W
Stężenie średnioroczne $\mu\text{g}/\text{m}^3$	1,698	120	60	6	1	W
Częstość przekroczeń D1= 3000 $\mu\text{g}/\text{m}^3$, %	0,00	-	-	-	-	-

Najwyższa wartość stężeń jednogodzinnych węglowodorów alifatycznych występuje w punkcie o współrzędnych X = 120 Y = 60 m i wynosi 556,7 $\mu\text{g}/\text{m}^3$.

Zerowa częstość przekroczeń stężeń jednogodzinnych.

Najwyższa wartość stężeń średniorocznych występuje w punkcie o współrzędnych X = 120 Y = 60 m , wynosi 1,698 $\mu\text{g}/\text{m}^3$ i nie przekracza wartości dyspozycyjnej ($D_a\text{-R}$)= 900 $\mu\text{g}/\text{m}^3$.

Zestawienie maksymalnych wartości stężeń w siatce dodatkowej

Parametr	Wartość	X m	Y m	Z m	kryt. stan.r.	kryt. pręd.w.	kryt. kier.w.
Stężenie maksymalne $\mu\text{g}/\text{m}^3$	530,4	121,2	61,6	1	6	1	W
Stężenie średnioroczne $\mu\text{g}/\text{m}^3$	1,595	121,2	61,6	1	6	1	W
Częstość przekroczeń D1= 3000 $\mu\text{g}/\text{m}^3$, %	0,00	-	-	-	-	-	-

Najwyższa wartość stężeń jednogodzinnych węglowodorów alifatycznych występuje w punkcie o współrzędnych X = 121,2 Y = 61,6 m i wynosi 530,4 $\mu\text{g}/\text{m}^3$.

Zerowa częstość przekroczeń stężeń jednogodzinnych.

Najwyższa wartość stężeń średniorocznych występuje w punkcie o współrzędnych X = 121,2 Y = 61,6 m, wynosi 1,595 $\mu\text{g}/\text{m}^3$ i nie przekracza wartości dyspozycyjnej ($D_a\text{-R}$)= 900 $\mu\text{g}/\text{m}^3$.

Zestawienie maksymalnych wartości stężeń pyłu zawieszonego PM 2,5 w sieci receptorów poza terenem zakładu

Parametr	Wartość	X m	Y m	kryt. stan.r.	kryt. pręd.w.	kryt. kier.w.
Stężenie maksymalne $\mu\text{g}/\text{m}^3$	0,0	60	60	6	1	WSW
Stężenie średnioroczne $\mu\text{g}/\text{m}^3$	0,000	100	90	6	1	ESE
Częstość przekroczeń - nie dotyczy, brak D1	-	-	-	-	-	-

Najwyższa wartość stężeń jednogodzinnych pyłu zawieszonego PM 2,5 występuje w punkcie o współrzędnych X = 60 Y = 60 m i wynosi 0,0 $\mu\text{g}/\text{m}^3$.

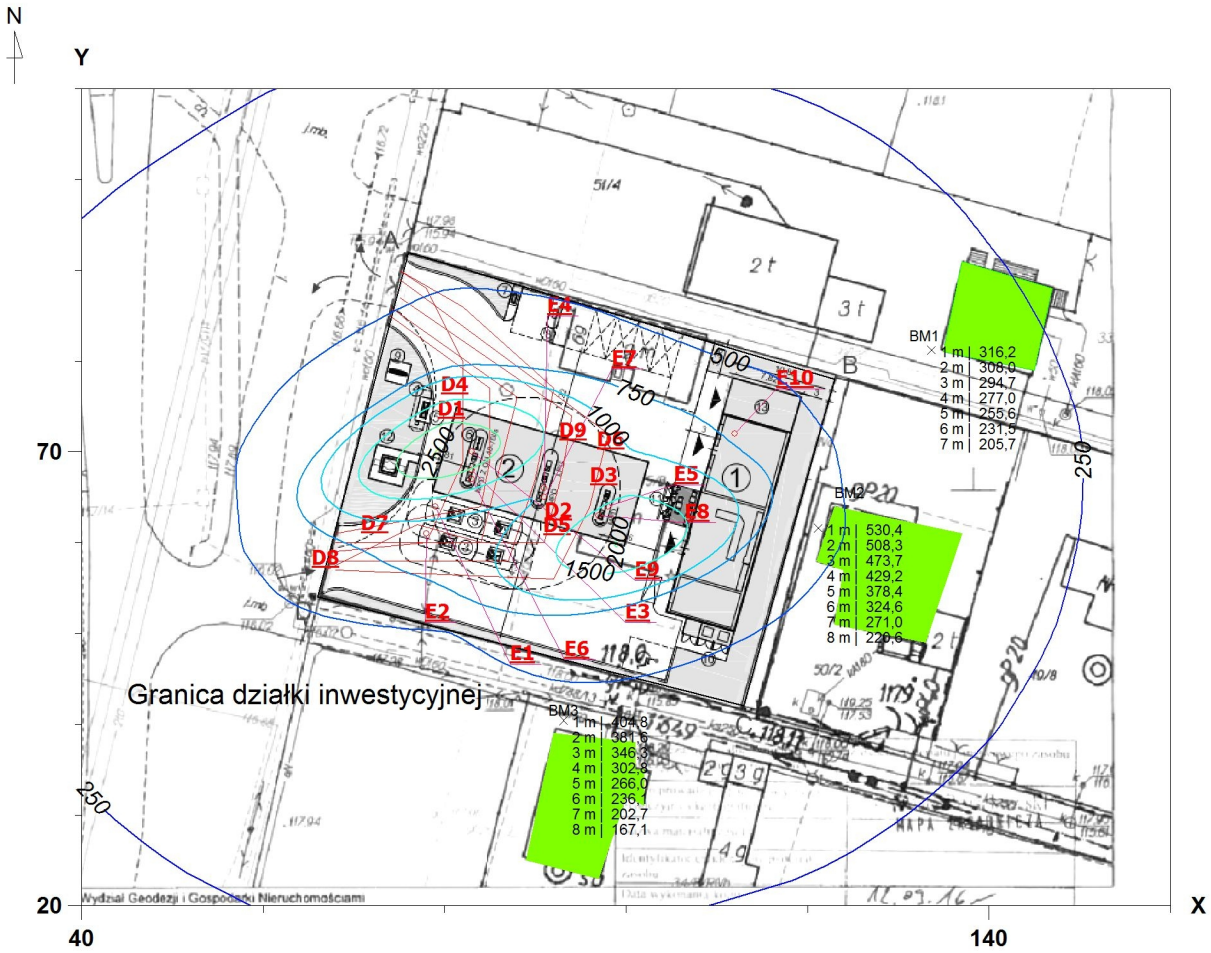
Najwyższa wartość stężeń średniorocznych występuje w punkcie o współrzędnych X = 100 Y = 90 m, wynosi 0,000 $\mu\text{g}/\text{m}^3$ i nie przekracza wartości dyspozycyjnej ($D_a\text{-R}$)= 5 $\mu\text{g}/\text{m}^3$.

Zestawienie maksymalnych wartości stężeń w siatce dodatkowej

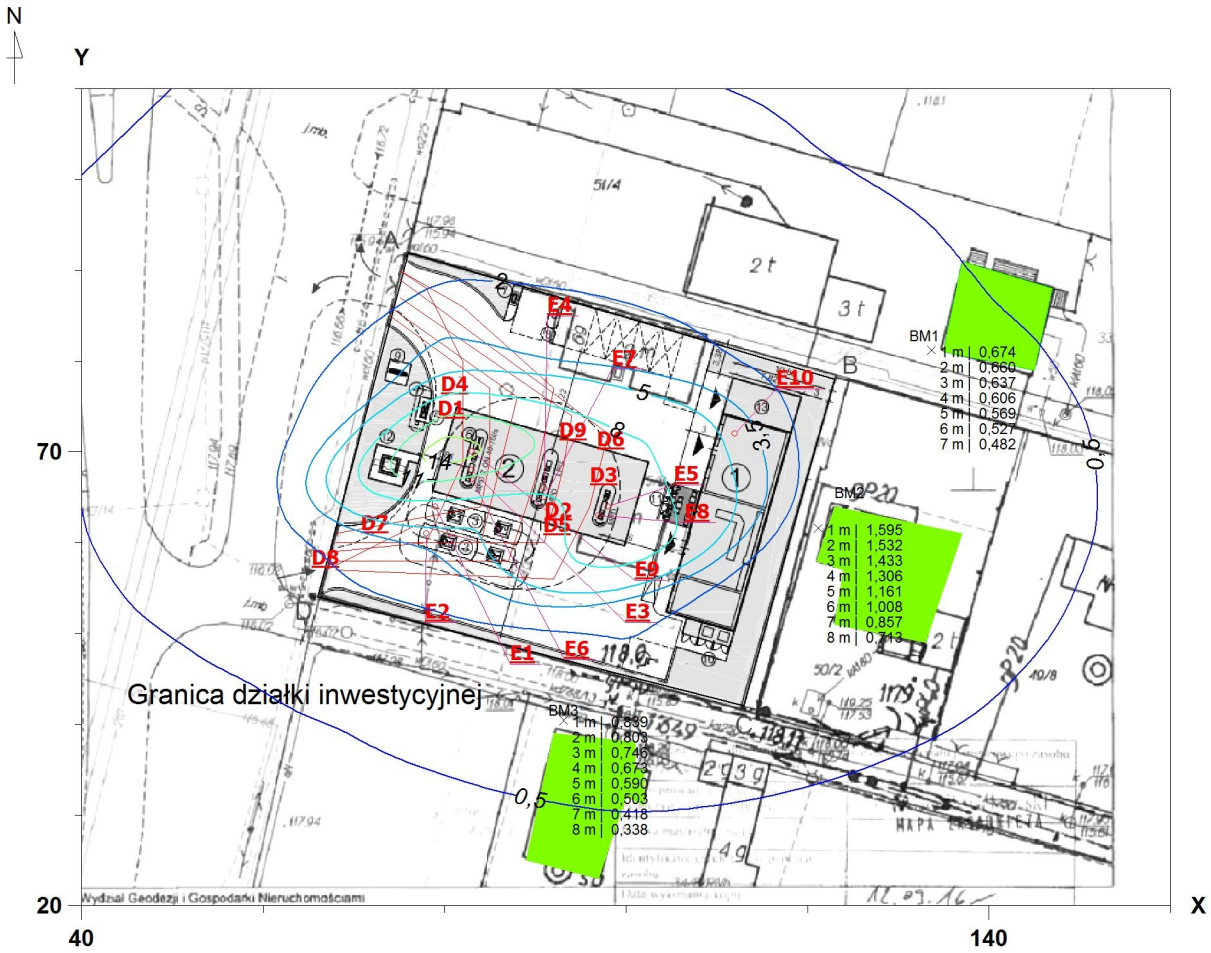
Parametr	Wartość	X m	Y m	Z m	kryt. stan.r.	kryt. pręd.w.	kryt. kier.w.
Stężenie maksymalne $\mu\text{g}/\text{m}^3$	0,0	121,2	61,6	5	6	1	NNW
Stężenie średnioroczne $\mu\text{g}/\text{m}^3$	0,000	121,2	61,6	5	6	1	NNW
Częstość przekroczeń - nie dotyczy, brak D1	-	-	-	-	-	-	-

Najwyższa wartość stężeń jednogodzinnych pyłu zawieszonego PM 2,5 występuje w punkcie o współrzędnych X = 121,2 Y = 61,6 m i wynosi 0,0 $\mu\text{g}/\text{m}^3$.

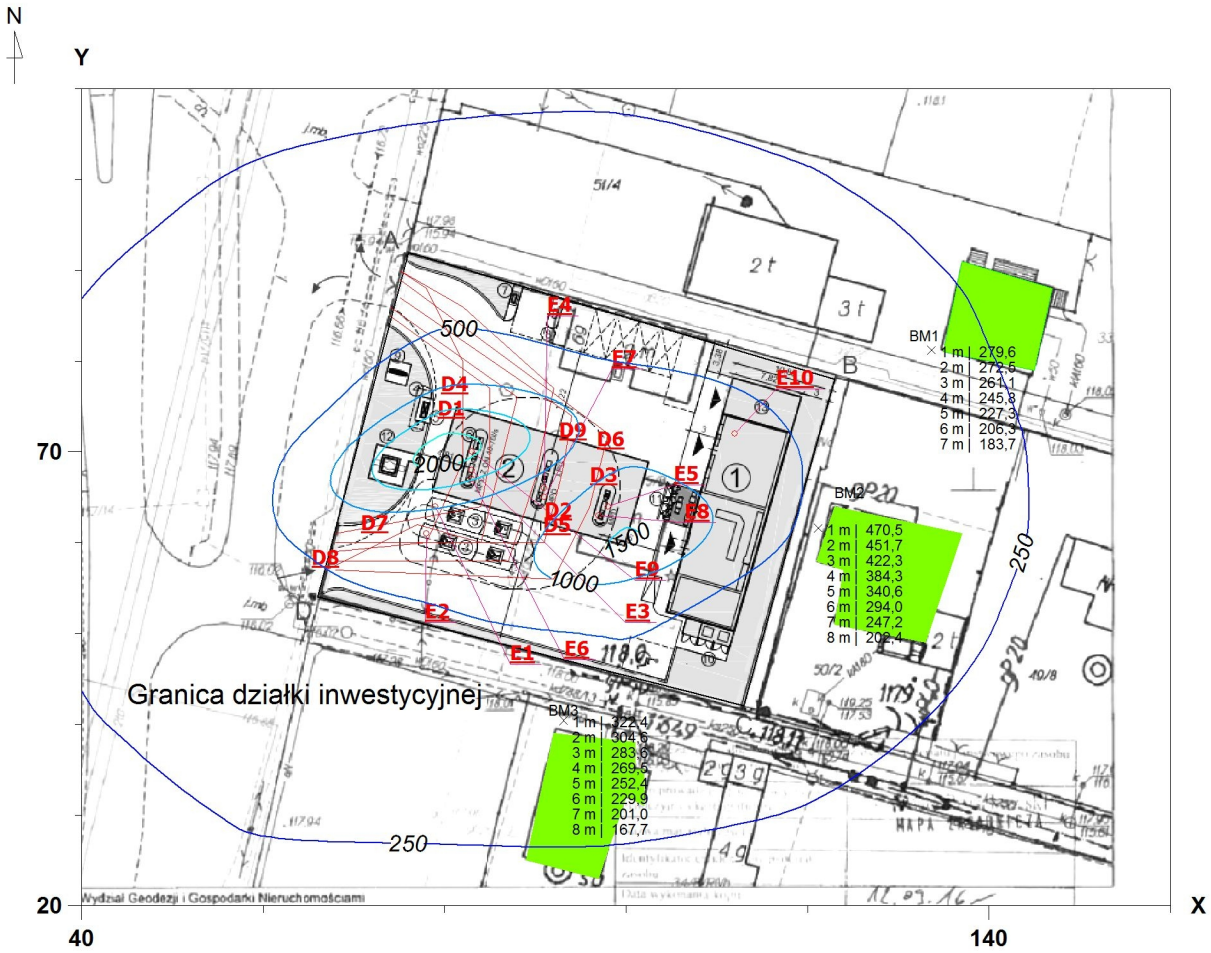
Najwyższa wartość stężeń średniorocznych występuje w punkcie o współrzędnych X = 121,2 Y = 61,6 m, wynosi 0,000 $\mu\text{g}/\text{m}^3$ i nie przekracza wartości dyspozycyjnej ($D_a\text{-R}$)= 5 $\mu\text{g}/\text{m}^3$.



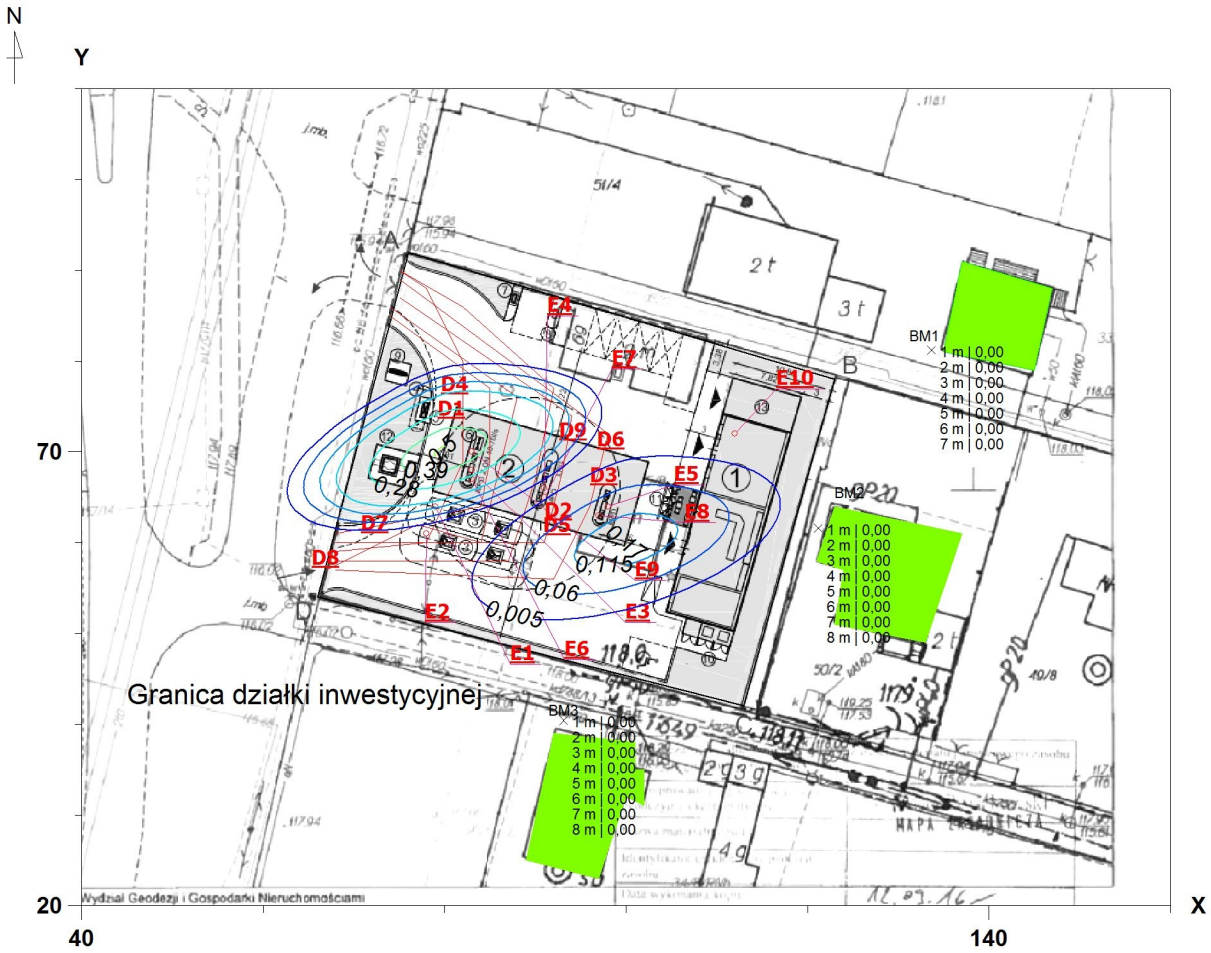
Izolinie stężeń maksymalnych węglowodorów alifatycznych $\mu\text{g}/\text{m}^3$
 (dopuszcz. $3000 \mu\text{g}/\text{m}^3$)



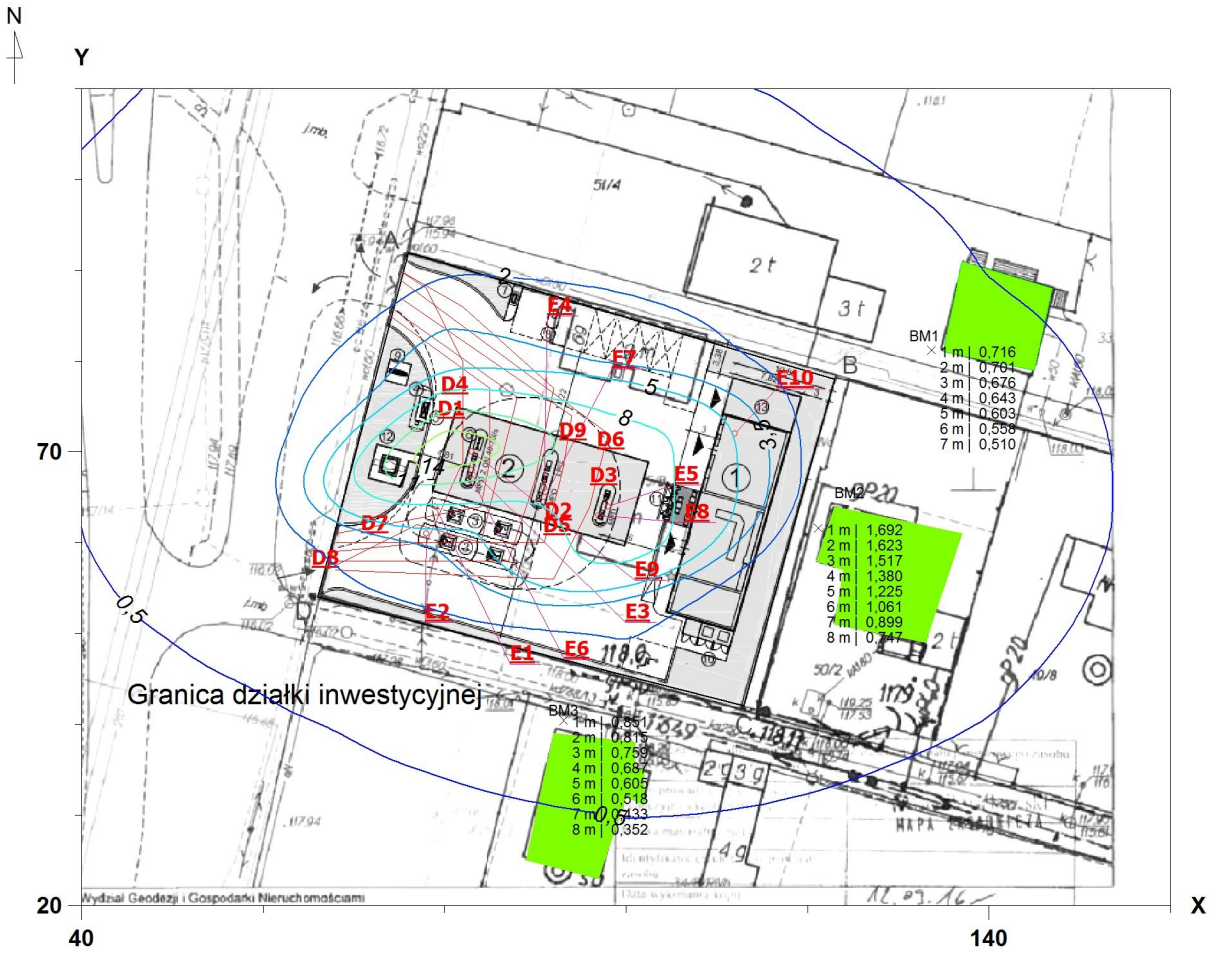
Izolinie stężeń średnich węglowodorów alifatycznych $\mu\text{g}/\text{m}^3$
 (dyspoz. $900 \mu\text{g}/\text{m}^3$)



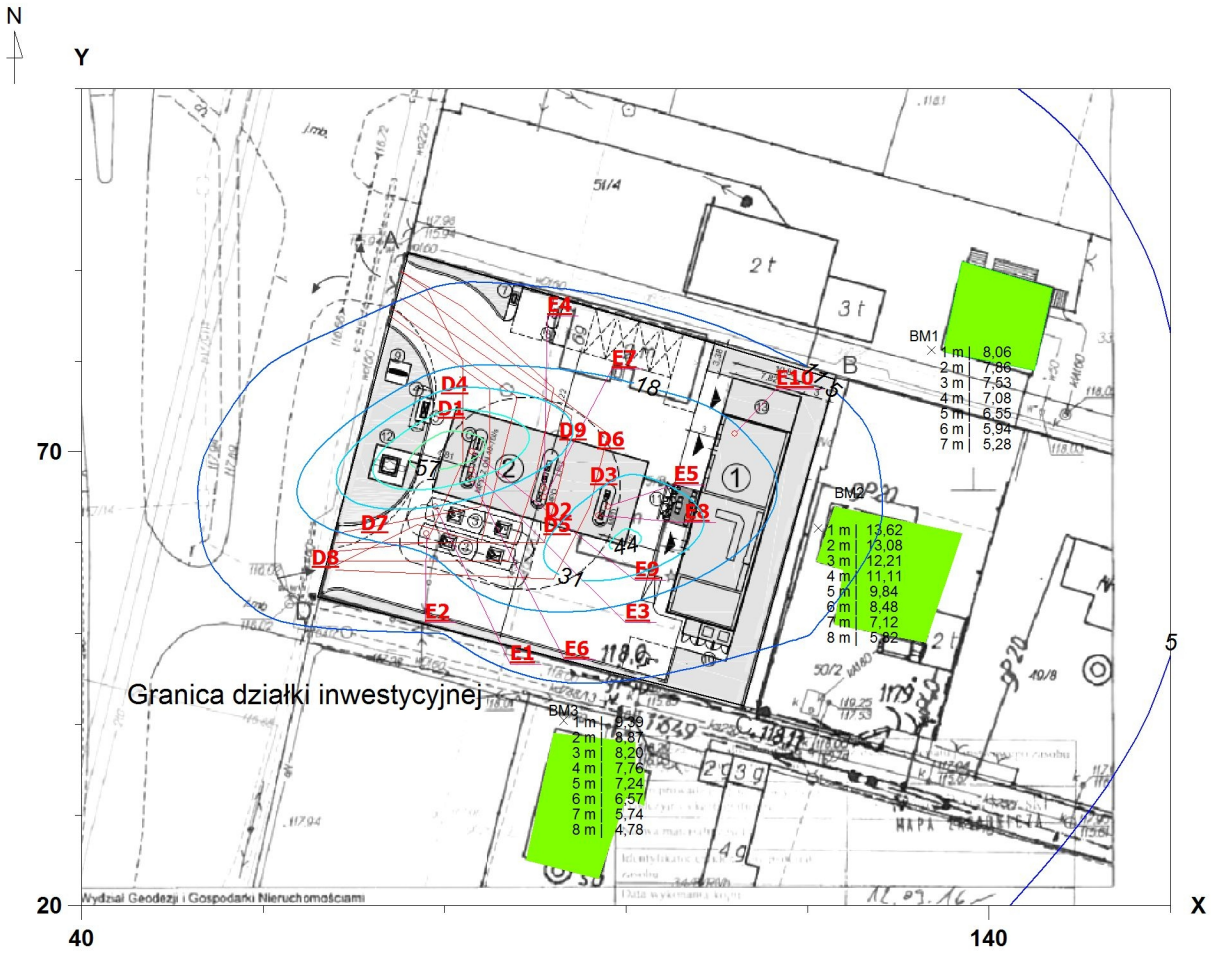
Izolinie stężeń maksymalnych węglowodorów aromatyczne $\mu\text{g}/\text{m}^3$
 (dopuszcz. $1000 \mu\text{g}/\text{m}^3$)



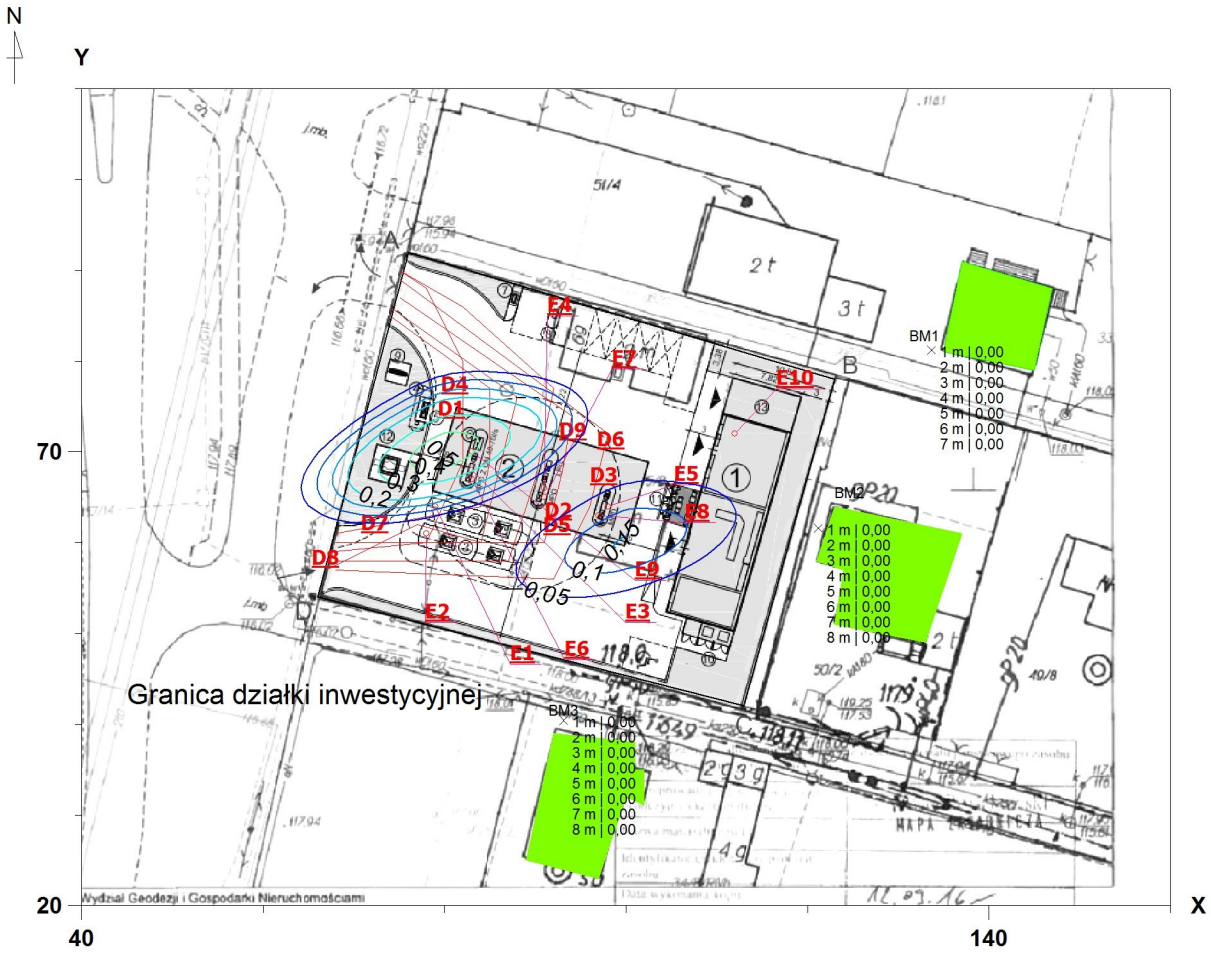
Izolinie częstości przekroczeń stężeń jednogodzinnych $1000 \mu\text{g}/\text{m}^3$
węglowodorów aromatyczne, % (dopuszcz. 0,2 %)



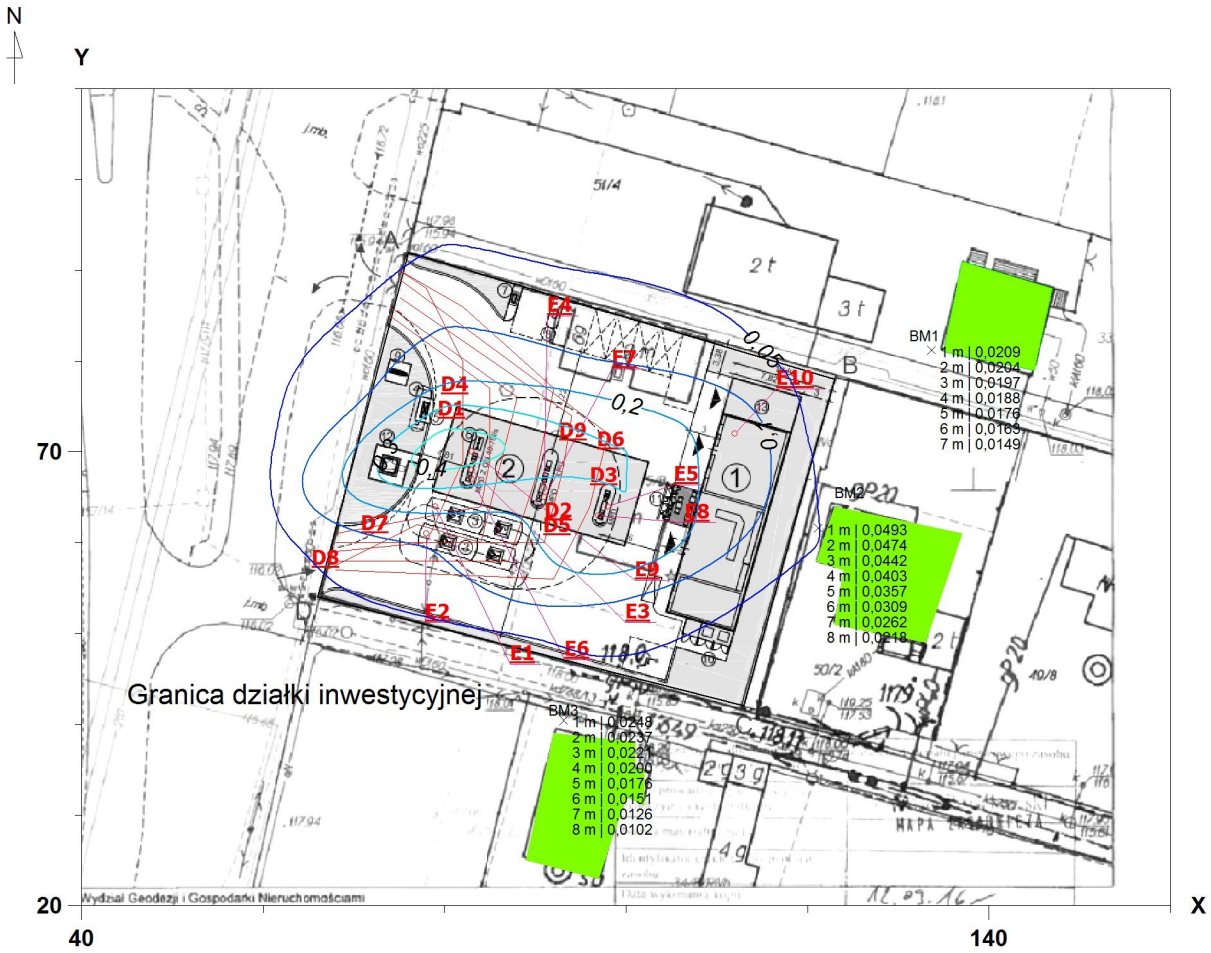
Izolinie stężeń średnich węglowodorów aromatyczne $\mu\text{g}/\text{m}^3$
 (dyspoz. $38,7 \mu\text{g}/\text{m}^3$)



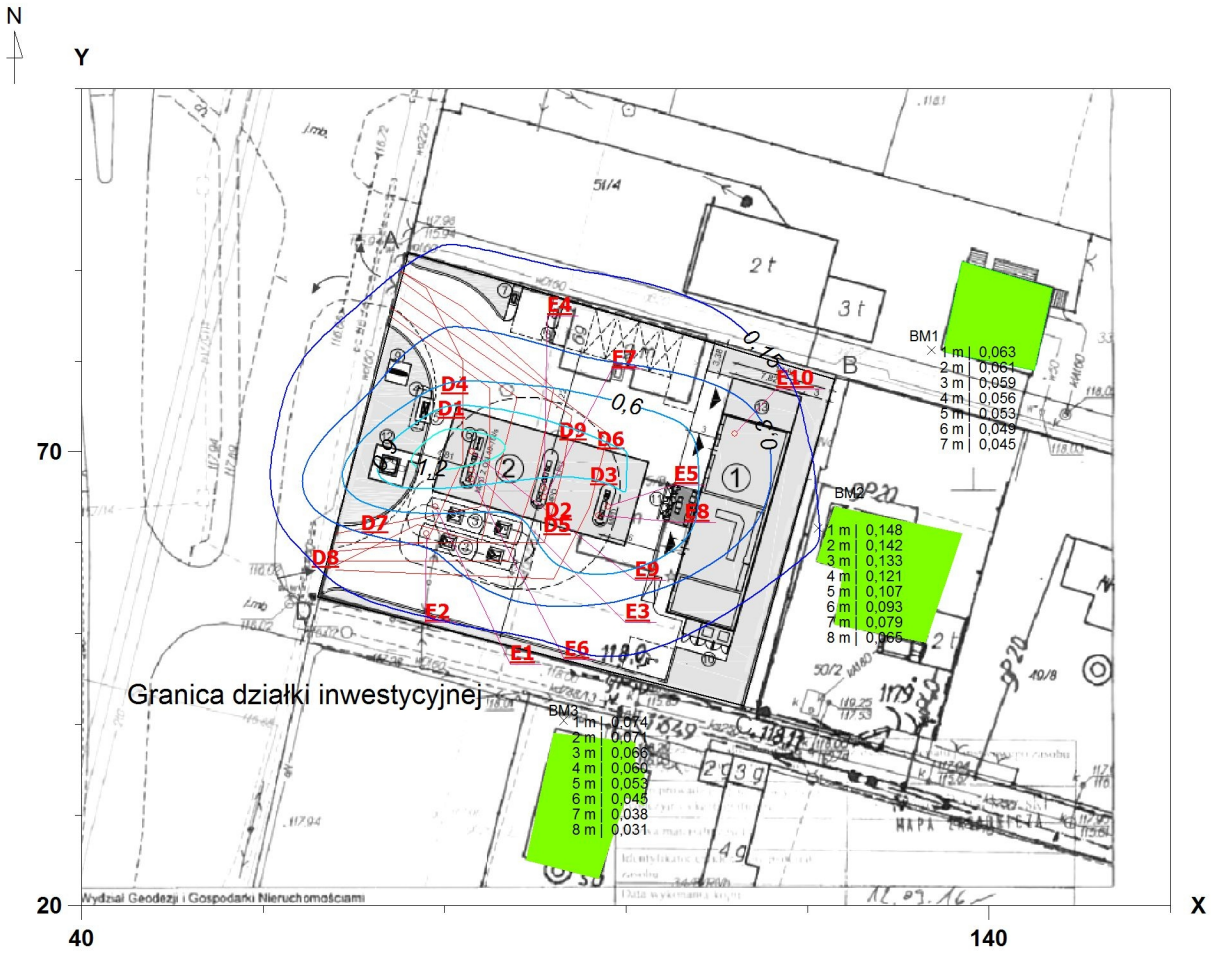
Izolinie stężeń maksymalnych benzenu $\mu\text{g}/\text{m}^3$
 (dopuszcz. $30 \mu\text{g}/\text{m}^3$)



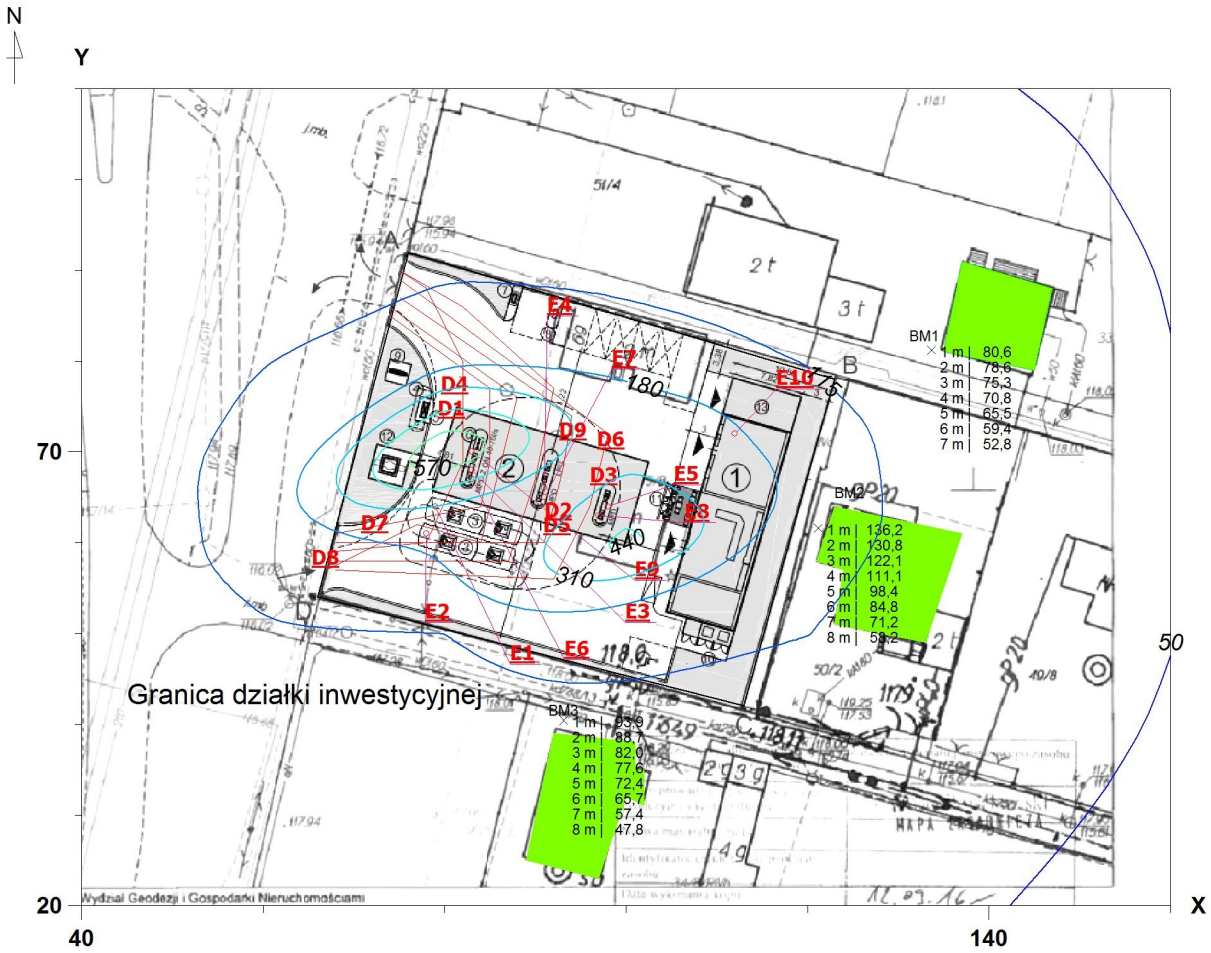
Izolinie częstości przekroczeń stężeń jednogodzinnych $30 \mu\text{g}/\text{m}^3$ benzenu, % (dopuszcz. 0,2 %)



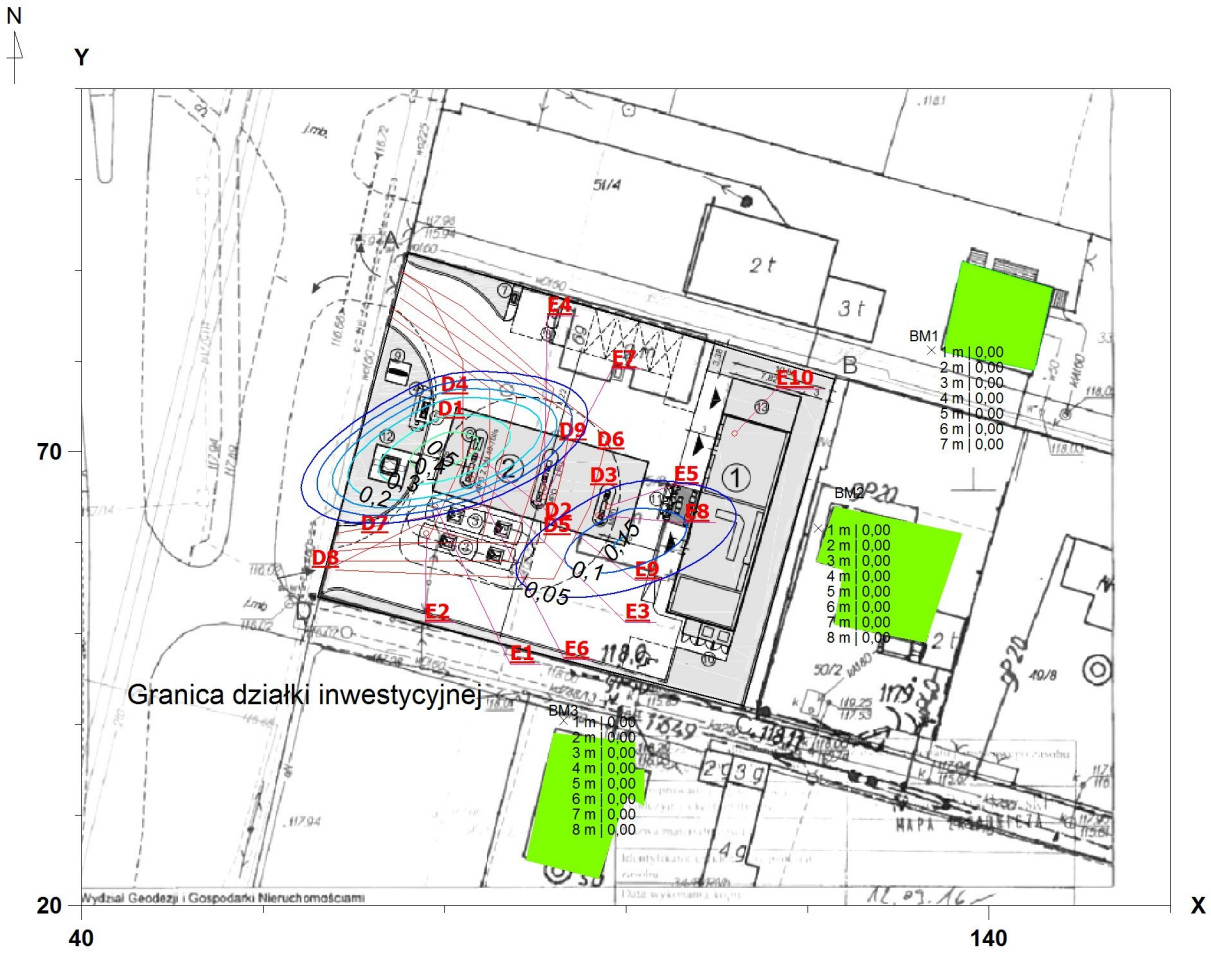
Izolinie stężeń średnich benzenu $\mu\text{g}/\text{m}^3$
 (dyspoz. $4,5 \mu\text{g}/\text{m}^3$)



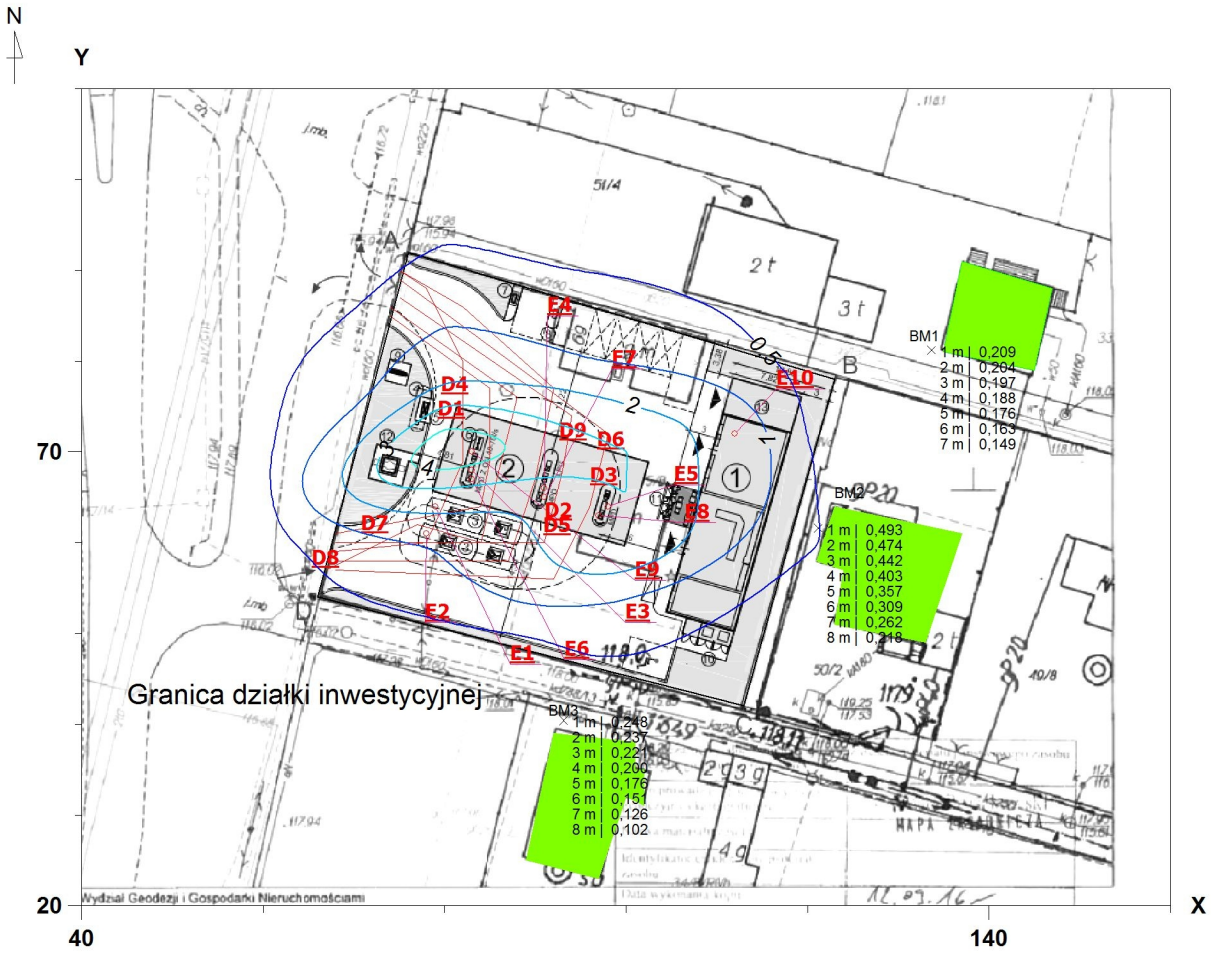
Izolinie stężeń średnich alkoholu metylowego $\mu\text{g}/\text{m}^3$
 (dyspoz. $117 \mu\text{g}/\text{m}^3$)



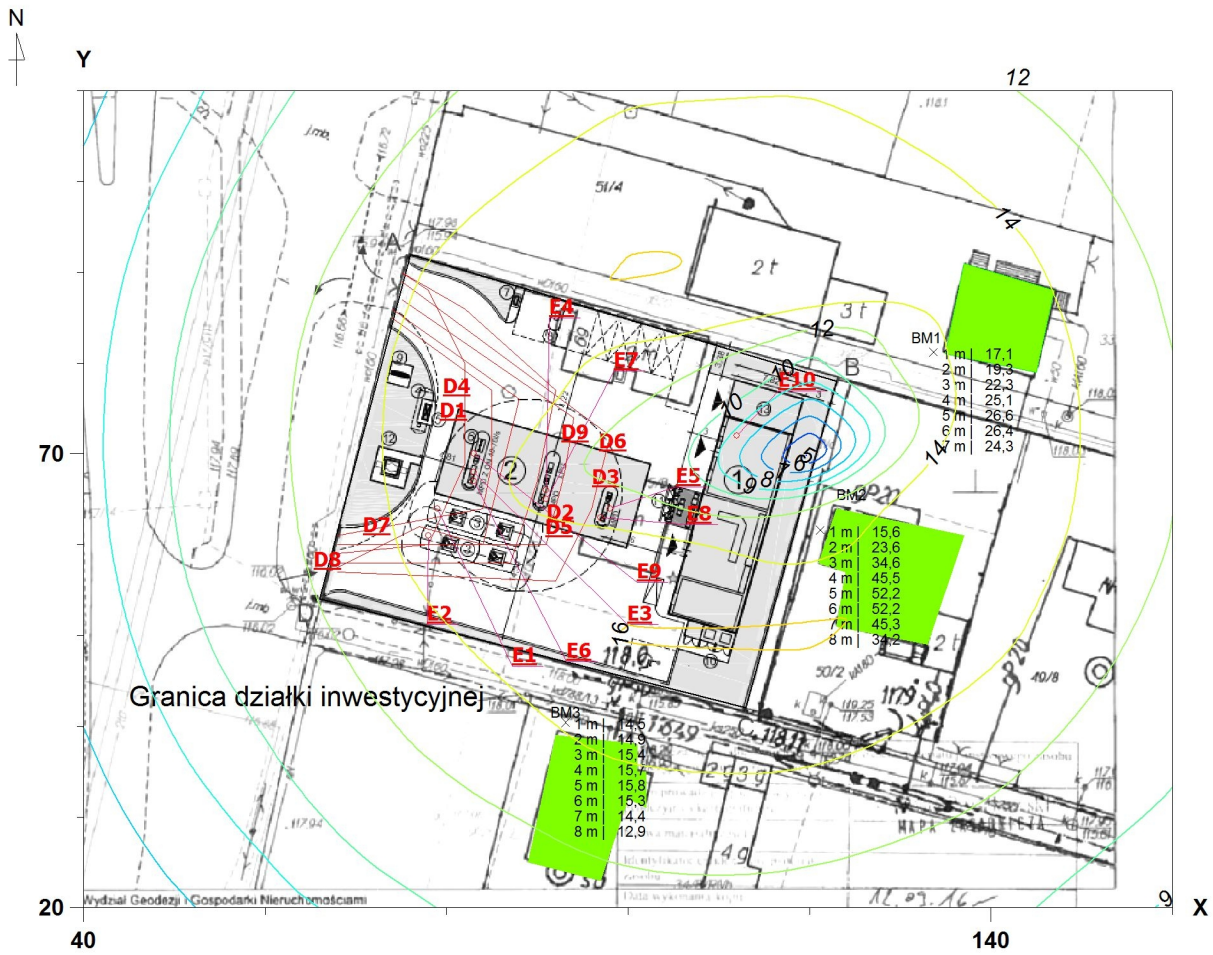
Izolinie stężeń maksymalnych alkoholu izobutyłowego $\mu\text{g}/\text{m}^3$
 (dopuszcz. $300 \mu\text{g}/\text{m}^3$)



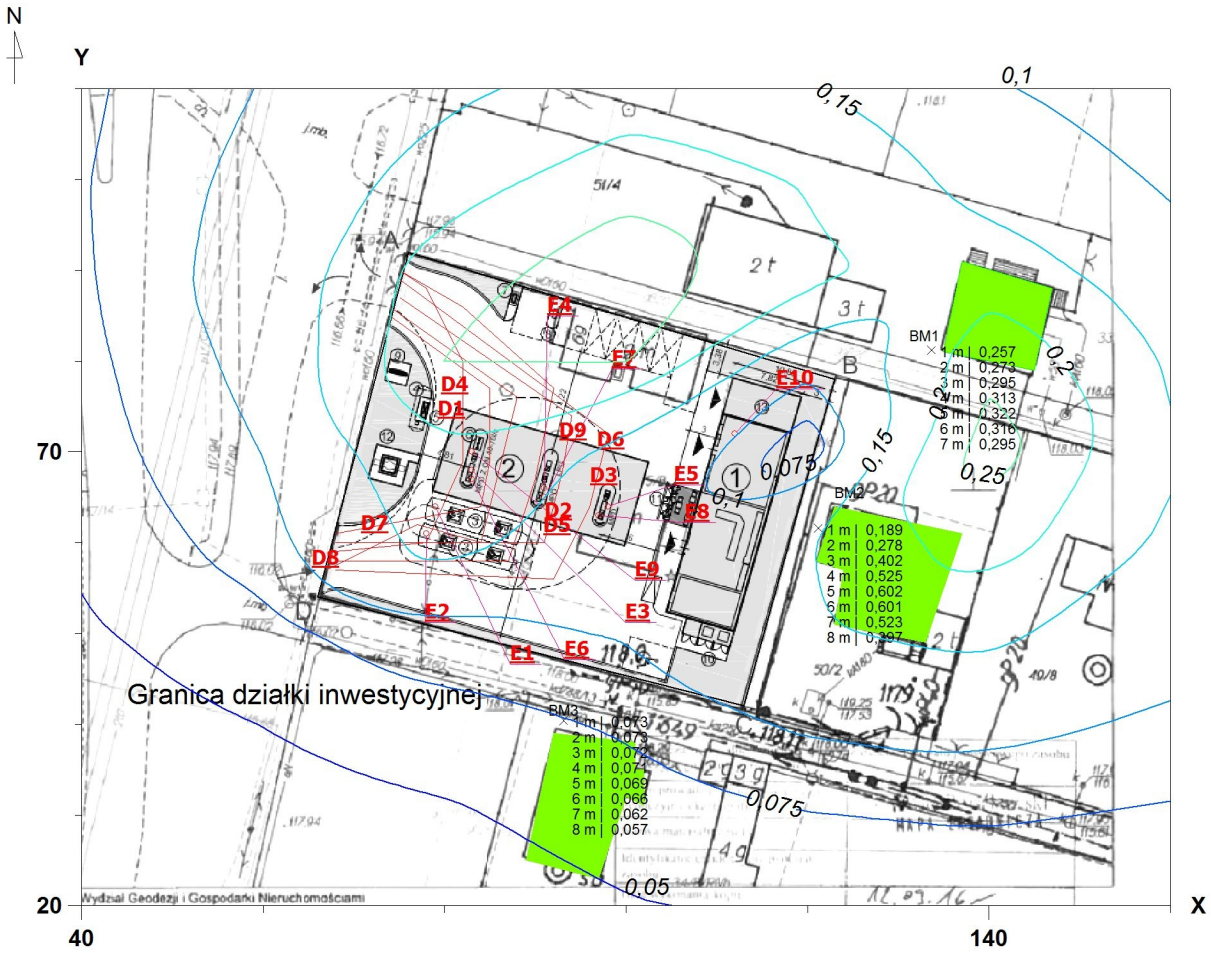
Izolinie częstości przekroczeń stężeń jednogodzinnych $300 \mu\text{g}/\text{m}^3$
 alkoholu izobutylowego, % (dopuszcz. 0,2 %)



Izolinie stężeń średnich alkoholu izobutylowego $\mu\text{g}/\text{m}^3$
 (dyspoz. $23,4 \mu\text{g}/\text{m}^3$)



Izolinie stężeń maksymalnych tlenków azotu $\mu\text{g}/\text{m}^3$
 (dopuszcz. $200 \mu\text{g}/\text{m}^3$)



Izolinie stężeń średnich tlenków azotu $\mu\text{g}/\text{m}^3$
 (dyspoz. $16 \mu\text{g}/\text{m}^3$)

Mapa zakładu

